

НУБІП України

НУБІП України

НУБІП України

МАГІСТЕРСЬКА КВАЛІФІКАЦІЙНА РОБОТА

01.12 КМР. 1856 "С" 2020.11.25.005 ПЗ

СОЛОХНЕНКО ІГОР ЮРІЙОВИЧ

2021 р.

НУБІП України

НУБІП України

НУБІП України

НАЦІОНАЛЬНИЙ УНІВЕРСИТЕТ ПОДРЕСУРСІВ
І ПРИРОДОКОРИСТУВАННЯ УКРАЇНИ

Факультет (ННІ) конструювання та дизайну

НУБІП

УДК 621.793.09
ПОГОДЖЕНО

Декан факультету
конструювання та дизайну
(назва факультету (ННІ))

НУБІП

Ружило З.В.
(підпис)
“ ”
2021 р.

України

допускається до захисту

Завідувач кафедри
надійності техніки
(назва кафедри)

України

Новицький А.В.
(ПІБ)
“ ”
2021 р.

МАГІСТЕРСЬКА КВАЛІФІКАЦІЙНА РОБОТА

на тему „Удосконалення технології ТО та ремонту форсунок паливних систем Common Rail автотракторних двигунів”

Спеціальність 133 – Галузеве машинобудування
(код і назва)

Освітня програма Технічний сервіс машин та обладнання с.г. виробництва
(назва)

Орієнтація освітньої програми освітньо-професійна
(освітньо-професійна або освітньо-наукова)

НУБІП України

Гарант освітньої програми
К.Т.Н., доц.
(науковий ступінь та вчене звання)

Новицький А.В.
(ПІБ)

Керівник магістерської кваліфікаційної роботи
К.Т.Н., доц.
(науковий ступінь та вчене звання)

Попик П.С.
(ПІБ)

НУБІП України

Виконав
(підпис)

Солохненко І.Ю.
(ПІБ студента)

НУБІП України

КІЇВ – 2021

НУБіП України

НАЦІОНАЛЬНИЙ УНІВЕРСИТЕТ БЮРОСУРСІВ
І ПРИРОДОКОРИСТУВАННЯ УКРАЇНИ

Факультет конструювання та дизайну

ЗАТВЕРДЖУЮ

Завідувач кафедри

надійності техніки

К. Т. Н., докт.

(науковий ступінь, вчене звання)

Новицький А. В.

(ПІБ)

20

(рік)

З А В Д А Н Н Я

ДО ВИКОНАННЯ МАГІСТЕРСЬКОЇ КВАЛІФІКАЦІЙНОЇ РОБОТИ СТУДЕНТУ

Солохненко Ігор Юрійович
(прізвище ім'я, по батькові)

Спеціальність 133 – Галузеве машинобудування
(код і назва)

Освітня програма „Технічний сервіс машин та обладнання с.г. виробництва”
(назва)

Орієнтація освітньої програми освітньо-професійна

(освітньо-професійна або освітньо-наукова)

Тема магістерської кваліфікаційної роботи „Удосконалення технології ТО та ремонту форсунно-паливних систем Sompel Rail автотракторних двигунів”

затверджена наказом ректора НУБіП України від “25” листопада 2020 р. № 1856 «С»

Термін подання завершеності роботи на кафедру

2021.11.15

(рік, місяць, члено)

Вихідні дані до магістерської кваліфікаційної роботи 1. Конструктивні особливості 1
характеристики дизельних форсунок автотракторних двигунів. 2. Сучасні технології
відновлення роботоздатності дизельних форсунок. 3. Технологічні особливості проведення
підготовки поверхонь деталей до відновлення. 4. Нормативи витрат матеріалів для проведення
технологічного процесу відновлення та обробки деталей. 5. Номенклатура обладнання, що
застосовують при проведенні ремонтних робіт по відновленню паливної апаратури
автотракторних двигунів. 6. Типові норми часу на відновлення деталей. 7. Нормативні
документи з охорони праці та техніки безпеки, які регламентують процеси створення безпечних
умов праці при ремонти паливної апаратури автотракторних двигунів.

Перелік питань, що підлягають дослідженню:

1. Провести аналіз конструктивних особливостей деталей електро гіdraulічних форсунок дизелів та факторів, що визначають довговічність їх роботи.

2. Проаналізувати особливості сучасних технологій відновлення роботоздатності деталей електро гіdraulічних дизельних форсунок.

3. Аналітично дослідити взаємодію пари голка розпилювача – корпус розпилювача.

Перелік графічного матеріалу (за потреби). Схема пристосування для вимірювання якоря форсунки.

Дата видачі завдання “08” вересня 2020 р.

Керівник магістерської кваліфікаційної роботи

(підпись)

Попик П.С.

(прізвище та ініціали)

Завдання прийняв до виконання

(підпись)

Солохненко І.Ю.

(прізвище та ініціали студента)

НУБІП Україні

ЗМІСТ

ВСТУП.....	7
------------	---

РОЗДІЛ 1. АНАЛІЗ СТАНУ ПИТАННЯ І ПОСТАНОВКА

ЗАВДАНЬ.....	10
--------------	----

1.1 Вплив параметрів паливоподачі на техніко-економічні та екологічні показники дизеля.....	10
---	----

1.2 Аналіз зміни параметрів паливоподачі форсунок типу Common Rail в процесі експлуатації випробування.....	22
---	----

1.3 Аналіз способів та технології ремонту та випробування форсунок типу Common Rail.....	26
--	----

1.4 Аналіз вимірювальних пристроїв, що застосовуються під час ремонту форсунок типу Common Rail.....	32
--	----

2 РОЗРАХУНОВО-ТЕОРЕТИЧНІ ДОСЛІДЖЕННЯ ЩОДО СТВОРЕННЯ ТЕХНІЧНОГО ОБСЛУГОВУВАННЯ І РЕМОНТ ЕГФ.....	35
--	----

2.1 Інформаційна модель забезпечення працездатності ЕГФ.....	35
--	----

2.2 Методика індивідуального коригування базових характеристик управління паливоподачею ЕГФ при технічному обслуговуванні.....	37
--	----

2.3 Математична модель для визначення тривалості керуючого імпульсу ЕГФ типу Common Rail.....	38
---	----

2.4 Розрахункові дослідження щодо визначення допускових відхилень тривалості керуючого імпульсу при різних режимах роботи ЕГФ типу Common Rail фірми Bosch.....	47
---	----

2.5 Розробка дистанційного індикатора для вимірювання малых переприміщень при ремонті та регулюванні паливної апаратури дизелів.....	49
--	----

2.6 Висновки з 2 розділу.....	51
-------------------------------	----

3 МЕТОДИКА ПРОВЕДЕННЯ ЕКСПЕРИМЕНТІВ.....	53
---	----

3.1 Загальна методика експерименту.....	53
---	----

3.2 Обладнання та апаратура досліджень.....	53
---	----

3.3 Експериментальні установки та датчики.....	63
--	----

4 РЕЗУЛЬТАТИ ЕКСПЕРИМЕНТАЛЬНИХ ДОСЛІДЖЕНЬ.....	68
---	----

4.1 Удосконалення технологій ремонту ЕГФ типу Common Rail.....	68
--	----

4.2 Дослідження зокуплутаційних показників ЕГФ типу Common Rail для використання в запропонованій методіці електронної корекції базових характеристик управління паливом.....	72
---	----

НУБІП України

4.3 Дослідження щодо визначення експлуатаційних показників ЕГФ типу CommIn Rail фірми Denso 72

5 ОЦІНКА ЕКОНОМІЧНОЇ ЕФЕКТИВНОСТІ 75

ЗАГАЛЬНІ ВИСНОВКИ ТА РЕКОМЕНДАЦІЇ 79

СПИСОК ВИКОРИСТАНОЇ ЛІТЕРАТУРЫ 80

ДОДАТКИ 92

НУБІП України

ПРИЙЯТИ УМОВНІ ПОЗНАЧЕННЯ ТА СКОРОЧЕННЯ:

АЦП - аналого-цифровий перетворювач;

АВВП - автомат випередження вприска палива;

БХУП - базові характеристики управління паливоподачі;

КЗ - камера згорання;

ЛНГ та ЛВТ - ліній низького та високого тиску;

МТС - машинно-технологічні станції;

РЛВ - ролико-лопатевий витратомір;

ВГ - відпрацьовані гази;

ПА - паливна апаратура;

ПНЧТ та ПНВТ - паливні насоси низького та високого тиску;

ТО - технічне обслуговування;

ППН - паливопідкачувальний насос;

ПС - паливна система;

ПА - паливоподаюча апаратура;

ТЕП - техніко-економічні показники;

g_u - об'ємна циклова подача палива, $\text{мм}^3/\text{цикл}$;

$Q_{\text{упрВ}}$ - витрата палива на управління, $\text{мм}^3 / \text{цикл}$

$P_{\text{впр}} \text{ або } P_{\text{Фтак}}$ - тиск впорскування, МПа;

$\theta \text{ або } \psi_{\text{ВТ}}$ - кут випередження впріжека палива, град;

If або ЕПС - ефективний прохідний перетин форсунки (розпилювача), мм^2 ?

АПК - агропромисловий комплекс;

НУБІП України

НУБІП України

НУБІП України

ВСТУП

Актуальність теми дослідження. З кінця 90-х років у дизелях автотракторної та сільськогосподарської техніки найбільше застосування отримують акумуляторні паливоподаючі системи (ПС) типу Common Rail (CR), де одним із найважливіших елементів є електрогідралічна форсунка (ЕГФ). Конструкції форсунок динамічно вдосконалюються, зокрема, еволюція конструкцій ЕГФ ПС типу CR фірми Bosch за останні десять років вже нараховують чотири покоління.

У процесі експлуатації параметри паливоподачі ЕГФ змінюються, що в свою чергу впливають на якість роботи двигуна. В даний час заявлений ресурс роботи ЕГФ дизельного двигуна становить близько 100 000 км пробігу або 2500 мотогодин. Малий опит експлуатації ПС типу CR, постійне вдосконалення їх конструкцій пояснює наявність порівняно невеликої інформації про їхню працевздатність у експлуатації і поки ще ускладнює досить достовірну оцінку їх експлуатаційних показників. У зв'язку з невеликим терміном виробництва таких систем фірмами - виробниками не повністю відпрацьовані досить раціональні технології та засоби для ремонту подібних систем в умовах зосередження спеціалізованих ремонтних підприємств і відносно дуже дорогих запасних частин.

Слід зазначити, що великі територіальні простори України зумовлюють складність контролю за дотриманням нормативних вимог до якості палива на різних заправках різних звичних компаній у сільській місцевості. Дослідженнями встановлено, що навіть в єдиних випадках використання неякісного палива ймовірність відмов паливних систем CR у порівнянні з традиційними системами значно вище.

Ступінь розробленості. Згідно заводської технології ремонту, встановлення вузлів ЕГФ, що відмовили, не передбачено, і ті вузли підлягають заміні. Убагато в чому пояснюється, на наш погляд, невиправдано висока собівартість ремонту ЕГФ. Технології технічного обслуговування ЕГФ передбачають оцінку та налаштування єдиних для всіх ЕГФ контрольних параметрів. Практично не використовувані можливості електронного керування чи паливоподачею при регулюванні. Не відпрацьовані питання електричного коригування базових

НУБІП України

характеристик управління паливоподачею відремонтованої ЕГФ з виділенням індивідуальних особливостей кожної форсунки.

У зв'язку з цим наукове дослідження, направлене на вдосконалення технічного обслуговування та ремонту електрогідралічних форсунок, в тому числі на основі змін базових характеристик управління паливоподачею (БХУП) дизельних двигунів представляються актуальними і практично значущими.

Мета роботи. Удосконалення технічного обслуговування та ремонту електрогідралічних форсунок поліпшенням технологій ремонту клапанного вузла коригуванням базових характеристик управління паливоподачею.

Об'єкт дослідження. Електрогідралічна форсунка акумуляторних паливоподавальних систем автотракторних та комбайнових дизелів.

Предмет дослідження. Технологія технічного обслуговування та ремонту електрогідралічних форсунок акумуляторних паливних систем автотракторних і комбайнових дизелів.

Наукова новизна роботи:

- інформаційна модель забезпечення працездатності ЕГФ типу CR, пояснюючи індивідуального електричного коригування параметрів топливоподачі, що забезпечує збільшення періодичності ремонтно-технічних впливів;
- математична модель процесу роботи електрогідралічної форсунки, що встановлює залежність тривалості керуючого імпульсу від конструктивно-регулювальних параметрів ЕГФ і дозволяє визначити допустиме відхилення регульованих параметрів при різних режимах роботи;

Удосконалення технологія ремонту електрогідралічних форсунок акумуляторних паливних систем, що забезпечує відновлення ресурсу до 100% при зниженні собівартості ремонту в 1,5 рази;

Методика регулювання ЕГФ шляхом коригування базових характеристик управління паливоподачею, що забезпечує розширення допусків до контрольних та складальних параметрів ЕГФ.

Теоретична
Технологія
відновлення

практична
клапанного вузла
ЕГФ типу CR;

НУБІП України

- Дані за експлуатаційними показниками сучасних паливопроводів систем типу CR автотракторних та комбайнових дизелів.

Методологія та методи дослідження. Основою дослідження стали методи комп'ютерного математичного моделювання та фізичної оброботки експериментальних даних. Експериментальні дослідження проведені з використанням сучасних засобів і обладнання в області випробуваній ПС типу CR.

Положення, що виносяться на захист:

Інформаційна та математична моделі, що визначають вплив різних факторів і параметрів на показники роботи ЕГФ типу CR;

Технології технічного обслуговування та ремонту електрогідралічних форсунок акумуляторних паливних систем з використанням індивідуальної електронного коригування базових характеристик управління паливоподачею;

Результати теоретичних та експериментальних досліджень

НУБІП України

НУБІП України

НУБІП України

НУБІП України

РОЗДІЛ 1. АНАЛІЗ СТАНУ ПИТАННЯ ПОСТАНОВКА ЗАВДАНЬ

1.1 Вплив параметрів паливоподачі на техніко-економічні та екологічні

показники дизеля

На сьогоднішній день ДВЗ є основною енергетичною установкою автотракторних та комбайнових дизелів. За вітчизняними та зарубіжними прогнозами, в силу своїх особливих позитивних якостей це становище збережеться в найближчому майбутньому, проте показники дизелів будуть змінюватися. Найважливішими показниками роботи автотракторних та комбайнових дизелів багато в чому визначається якістю роботи паливної системи, до якої висувають ряд досить жорстких вимог, серед них виділяють техніко-економічні та екологічні показники дизеля. Необхідність економної витрати палива обумовлюється виснаженням світових запасів нафти, підвищеннем цін на нафтопродукти та викидів в атмосферу CO_2 .

Одним з параметрів ПС впливає на техніко-економічні та екологічні показники дизеля, є циклова подача, яка характеризується коефіцієнтом надлишку повітря:

де b_v -витрата повітря через двигун; G_t – витрата палива; $L_0=14,3 \text{ кг}/\text{кг} - \text{кг}$

теоретично необхідне кількості повітря для згоряння 1 кг палива.

При зменненню коефіцієнта надлишку повітря економічні та екологічні показники дизеля погіршуються, особливо при наближенні до межі димлення ($a = 1,2..1,3$).

Відповідно до ГОСТ10578-96 відхилення годинної або середньої циклової подачі на номінальній частоті обертання його валу або частоті обертання, відповідає максимальному крутному моменту при регулюванні на стенді, для автотракторних дизелів має входити межі $\pm 1,5\%$.

Загальноприйнятими показниками паливної економічності дизелів є питома ефективна витрата палива на режимах зовнішньої швидкісної характеристики на режимах номінальної потужності і максимально крутного моменту. Мінімальна витрата палива становить $\dot{e}_e = 190-192 \text{ г}/(\text{kVt} * \text{год})$ для зарубіжних дизелів, а для вітчизняних складає $\dot{e}_v = 210-230 \text{ г}/(\text{kVt} * \text{год})$.

Іншим найважливішим параметром паливоподачі є кут випередження впорскування палива, що визначає тривалість та розташування ділянки згоряння щодо ВМТ поршня і, як наслідок, величину питомої ефективної витрати палива, динамічні показники процесу згоряння. Оптимальна величина 90° (град.п.к.в.) залежить, крім конструктивних особливостей двигуна, та від режиму його роботи. Тобто, кожному режиму роботи відповідає своє оптимальне з погляду паливної економічності значення 0.

За даними Долганєва К.Є. та Головчука О.Ф. зменшення 6 на 10 ° п.к.в. на номінальному режимі в дизелях з сполученою камерою згоряння приведених зниження NO_x в ОГ на 60% при одночасному погіршенні паливної економічності на 10% та збільшення викиду сажі на 100%.

Основними параметрами паливоподачі поряд з цикловою подачею та кутом випередження впорскування є характеристикою впорскування (закон подачі) та характеристика тиску впорскування. Закон подачі палива суттєво впливає на характер перебігу процесу згоряння. Взаємозв'язок періоду затримки займання та початкової фази закону подачі палива визначає динаміку процесу згоряння. При традиційних паливних системах безпосередньої дії у міру зниження навантажень та частоти обертання двигуна знижується середній тиск впорскування і, в результаті, погіршується закон паливоподачі і, як наслідок, знижується економічність роботи двигуна. В акумуляторних ПС тиску і характеристика впорскування керується електронним блоком керування.

Таким чином, техніко-економічні та екологічні показники двигуна значною мірою визначаються параметрами паливоподачі, які в процесі експлуатації змінюються, що згодом призводять до погіршення якісних показників роботи дизеля.

Другим за значимістю показником роботи двигуна є токсичність відпрацьованих газів (ВГ), кількість викиду двигуном, шкідливих речовин. На сьогоднішній день до зниження ВГ дизелів надають велику значимість у зв'язку з розширенням сфери їх застосування та збільшенням загальну кількість автомобілів, автобусів та інших машин з дизельними силовими установками, зокрема, ВГ автотракторних та комбайнів дизелях скорочують урожайність до

НУБІП України

25% і знижують якість сільськогосподарських культур. Тому вводяться обмеження

з їхньої викиди ВГ. Норми на токсичність ВГ, прийняті у багатьох країнах, встановлюють максимальне допустимі питомі масові викиди токсичних речовин

(NO_x , CO , HC_x , TCH). В Україні крім раніше чинних норм - ОСТ 37.001.034-81, ОСТ

37.001.054-86 запроваджуються загальноєвропейські норми на токсичність ВГ

транспортних дизелів:

- Євро 1 (з 1 липня 1992 р. введення в Європі);

- Євро 2 (з 1 січня 1996 р.);

- Євро 3 (з 1 січня 2000 р.);

- Євро 4 (з 1 січня 2005 р.);

- Євро 5 (з 1 січня 2009 р.).

НУБІП України

Згідно з дослідженнями, проведеними фірмою Bosch, виконання норм викидів речовин з ВГ автотракторних та комбайнових дизелів Euro 2, Euro 3 в

загалом забезпечувалося десятма основними заходами, з яких шість відноситься до паливної апаратури (ПА). Тобто 60% заходів викидів ВГ автотракторних та комбайнових дизелів залежать від ПА.

НУБІП України

Норми токсичності Euro 4 введені в Європі у 2005 році порівняно з нормами Euro 3 зменшили PM - в 1,67 рази, CO - в 1,28 рази, $\text{HC} + \text{NO}_x$ - в 1,87 рази. Також

слід зазначити, що жорсткі вимоги до токсичності ВГ привели до зміни стандартів та розроблення певних вимог до дизельного палива, зокрема, за щільністю, в'язкістю та вмістом сірки.

НУБІП України

У цьому зв'язку можна виділити ряд основних напрямків вдосконалення ПА сучасних дизелів у галузі підвищення економічності та зниження токсичності ВГ - заходи щодо модернізації системи паливоподачі (ПП) та оптимізація робочого процесу, підвищення тиску впорскування, електронне управління ПП, управління характеристикою впорскування, розробка акумуляторних систем (зокрема CR), використання альтернативних палив, забезпечення функціонування ПА у реальних умовах експлуатації, забезпечення стабільності впорскування та малих ніклиових можливостей. Серед них необхідно виділити електронне управління,

яке порівняно з ПА традиційного типу дає більше можливостей:

НУБІП України

НУБІЙ Україні

1. Гнучке регулювання циклової подачі, забезпечення заданої зовнішньої швидкісної

2. Оптимальне регулювання кута випередження палива, що впорскується відповідно до режиму роботи:

3. Мінімальна не рівномірність подачі по циліндрах;

4. Відключення циліндрів та циклів працюючих циліндрів на часткових режимах;

5. Система автоматичного керування забезпечує самодіагностику електричних кіл;

6. Автоматизація пуску, збагачення подачі під час пуску, її вимикання на примусовому холостому ходу; регулювання на переходних режимах.

Крім цих основних функцій спеціальні системи мають власні переваги. Все важче виконати жорсткі вимоги викидів шкідливих велечин (ШВ) без використання електронного управління. На сьогоднішній день до сучасних типів

дизелів відносяться такі типи паливних систем з електронним керуванням:

1. Рядні ПНВТ двохречні ПНВТ: ПНВТ з електроклапаном зливу;

2. Індивідуальні ПНВТ із електроклапаном зливу;

3. ПНВТ розподільчого типу;

4. Насос-форсунки з електроклапаном зливу;

5. Акумуляторний тип.

Кожна з цих типів ПА мають ряд своїх переваг. Віз зростанням тиску впорскування, одна з провідних фірм з виробництва ПА, фірма Bosch.

(Німеччина) віддає пріоритет ПС типу CR, яка дозволяє керувати УОВТ та подачею по кожному циліндрі, тиском та характеристикою впорскування. Згідно

з прогнозом розвитку ПА фірми Bosch у 2016 році основною частиною ПА дизелів становитиме система CR - 83% (Рис 1.1).

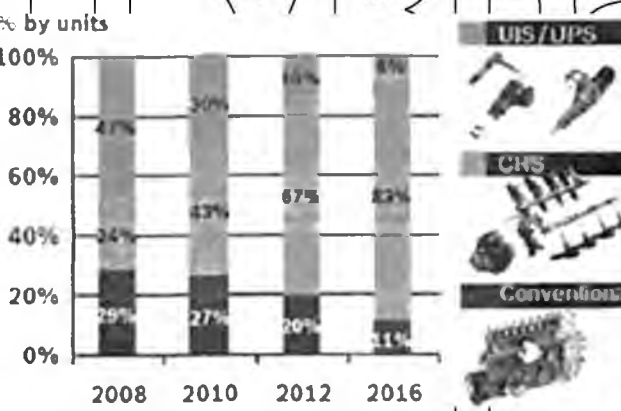


Рисунок 1.1 Прогноз розвитку ПНВТ фірми Bosch

Електронне управління у ПНВТ розподільчого типу (VE, VR) було впроваджено ще з 1984 року. У таких насосах використовують одну плунжерну пару для обслуговування від двох до восьми циліндрів, що економить вартість виробів (до 40% вартості паливних систем становлять пресізійні деталі).

Насоси з електронним керуванням можуть забезпечувати індивідуальну по циліндрах подачу, у тому числі відключення циліндрів. ПНВТ VE можуть обслуговувати з числом циліндрів 2, 4, 6, циліндровою потужністю до 25 кВт, частотою до 5000 хв, цикловою подачею до 100 мм³, тиском нагнітання до 60 МПа.

У всіх сучасних ПНВТ регулюються КВВП та змащування здійснюються паливом. Ресурс досягається максимально до 10000 годин, забезпечуючи агрегатну потужністю 1000 кВт та більше. Габаритні розміри вдвічі менші, ніж розміри багатоплунжерних насосів, і на 30% менше їх маса. Також в порівнянні з багатосекційними ПНВТ, вони забезпечують кращу рівномірність подачі палива циліндрами. У ПНВТ розподільчого типу також є недоліки: невеликий ресурс, складність у ремонті (необхідність спеціального обладнання), збільшені втрати у лінії нагнітання.

Рядні дворейкові ПНВТ на відміну від розподільчого типу глибоке регулювання КВВП важче. Регулювання КВВП здійснюється за рахунок конструкції насосної секції та другої рейки було реалізовано у ПНВТ фірми Zexel (Японія), в дослідному ПНВТ МГТУ, фірми Bosch для типів MW та P. Можливе незалежне керування цикловою подачею нижньою рейкою та КВВП верхнім поворотним валом. С можливість попередньої регулювання КВВП секції шляхом повороту навколо валу розслабленого поводка при знятій заглушці, а також регулювання циклової подачі кожної переміщуючи рейку циклової подачі. За допомогою датчиків переміщення контролюється положення рейки циклової подачі та валу КВВП.

Фірма Bosch випускає насос-форсунки електроуправлінням двох типів: для вантажних автомобілів та легкових автомобілів. На майонеті 1.2 показано насос-форсунка фірми Bosch. На дизелях UW 4ЧН79,5/95,5 робочим об'ємом 1,9 л,

НУБІП України
погужністю 85 кВт при $n=4000$ хв, насос-форсунки забезпечують тиск впорскування до 205 МПа. Зазначається, що запальна порція двофазного впорскування досягає 1,5 мм. Зараз вони обслуговують дизелі з циліндровою потужністю до 25 кВт і цикловою подачею до 60 мм^3 при $n=4800$ хв. На позашляховиках потужність у циліндрі 45...80 кВт, частота 2400 хв, циклова подача 60...200 мм^3 . При цьому максимальний тиск упорскування 200...220 МПа.



Рисунок 1.2 Зовнішній вигляд (а) і розріз насос - форсунки (б) з швидкодіючим електромагнітним клапаном фірми Bosch: 1-штовхач; 2-плунжер; 3-порожнини підкачування та зливу; 4-розпилювач; 5-канали високого тиску; 6-канали низького тиску; 7-клапан управління зливом; 8-електромагнітний привод .

Усі сучасні насос-форсунки мають клапанне керування цикловою подачею та КВВД. Крім регулювання за допомогою електромагнітного клапана момент початку впорскування і величина циклової подачі залежать від реальної швидкості руху плунжера, яка визначається формою кулачка. Навантаження, що виникають при роботі механізму подачі палива, призводять до виникнення крутильних коливань розподільчого валу, що негативно відбувається на характеристиках упорскування та міжцикловій стабільноті.

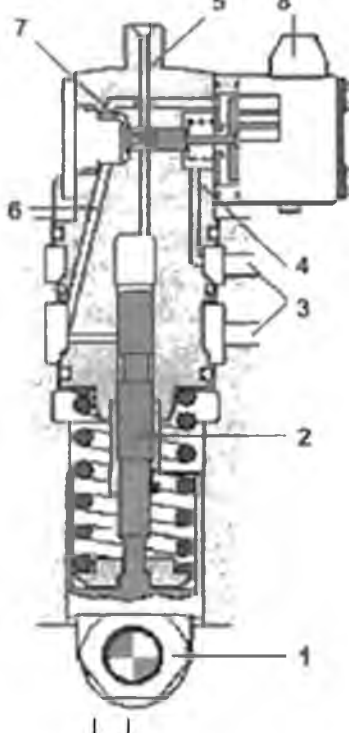
Основними перевагами насос-форсунок є підвищення тиску впорскування за рахунок мінімізації обсягів палива, що стискається, відсутність під

НУБІП України
впорскування, зменшення номенклатури деталей, різке відсічення подачі, менше закоксовування та більший ресурс розпилювача, менші витрати потужності, відсутність необхідності в нагнітальному клапані, зниження запізнення впорскування щодо нагнітання плунжера, що зменшує розкид КВВП за частотами обертання та зменшує потрібний діапазон його регулювання. А також забезпечують відносно більш пологий передній фронт подачі, що на свою чергу відповідає екологічним вимогам.

Широке застосування насос-форсунок обмежується наступними недостатками: ускладнені умови компонування головки, збільшений диаметр форсуночної частини, більше зниження гиску впорскування на часткових режимах роботи, ускладнені та менш точні умови регулювання рівномірності подачі по циліндрах.

Одним із різновидів сучасних ПС з електронним управлінням є індивідуальний ГНВТ (рисунок 1.3). Особливістю даної конструкції є система однічного насоса, об'єднана з форсункою, відсутність механізму повороту плунжера, відсутність золотникової частини у плунжера.

Перевагою є зручності компонування, обслуговування та регулювання, можливість індивідуальної подачі по циліндрах, також можливо, і здійснення двофазного впорскування. У ПА з клапанним керуванням використовується звичайна форсунка.



НУБІП України

Рисунок 1.3 Зовнішній вигляд (а) та розріз індивідуального ПНВТ: 1-

штовхач; 2-плунжер; 3-порожнини підкачування та зливу; 4-канал відсічення; 5-

канали високого тиску; 6-канали низького тиску; 7-клапан керування зливом; 8-

електромагнітний привід.



ПА з такими насосами - найпростіша, традиційна щодо виробництва та експлуатації та, водночас, ефективна в регулюванні системи. Дивно складним та некрасивим елементом індивідуального ПНВТ є клапан керування зливом 7 (мал. 1.3).

Принцип роботи СР; аналогічний системі виробництва бензину 3 електронним керуванням: тиск в акумуляторі постійно, а КВВП і циклова подача регулюються фазою та тривалістю відкриття форсунки. Однак режими, умови роботи, вимоги інші, отже, і конструкція значно складніша.

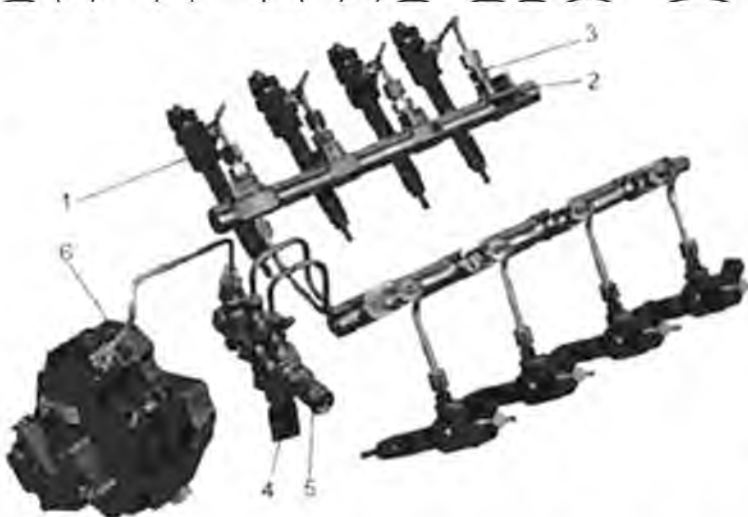
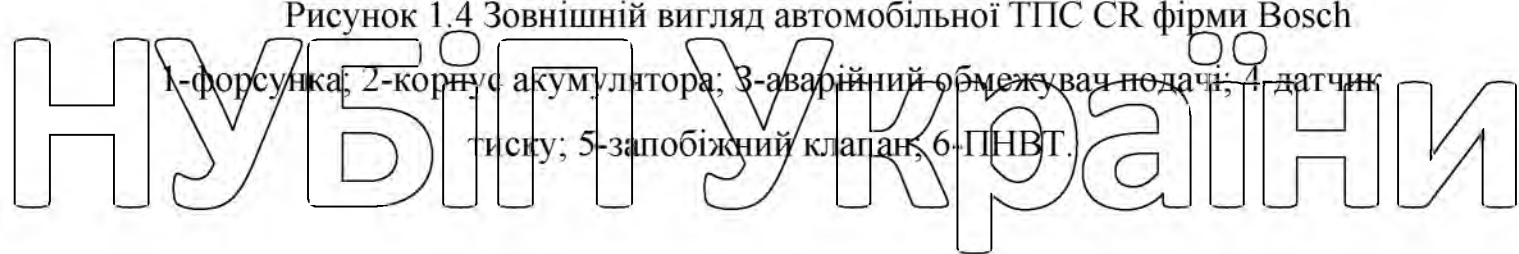


Рисунок 1.4 Зовнішній вигляд автомобільної ТПС CR фірми Bosch

1-форсунка; 2-корпус акумулятора; 3-аварійний обмежувач подачі; 4-датчик

тиску; 5-запобіжний клапан; 6-ПНВТ.



На рисунку 1.4 представлений зовнішній вигляд основних механічних

елементів автомобільної ТПС CR фірми Bosch. Такі системи не ускладнюють

головку циліндра, як насос-форсунки, ле́ше, інші будуть які альтернативні

компонуються на двигунах різних кінематичних схем.

Найважливішим елементом акумуляторної системи є ЕГФ (рис. 1.4). Процес

НУБІЙ України
паливоподачі регулюється швидкодіючим електромагнітним клапаном, який відкриває та закриває запірний клапан, регулюючи процес впорскування у кожному циліндрі. Кількість палива, що впорскується при постійному тиску в паливному акумуляторі пропорційно часу включення клапана і не залежить від частоти обертання колінчастого валу або кулачкового валу ПНВТ. ЕГФ типу CR являє собою нормальну закриту форсунку (рис. 1.5) з швидкодіючим клапаном 8 який керує тиском в камері управління.

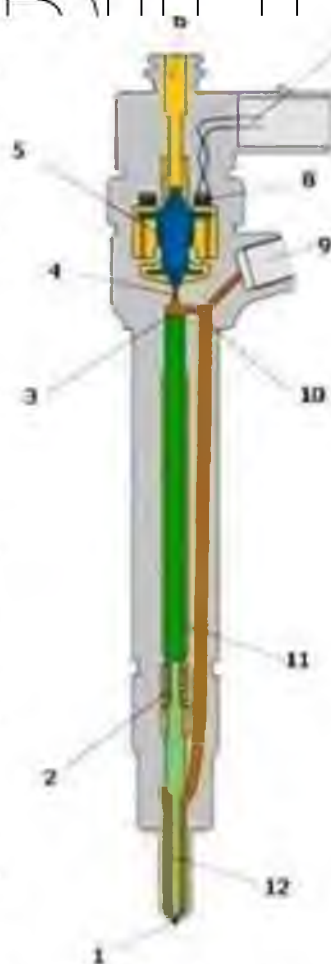
На сьогоднішній день основними виробниками ЕГФ акумуляторних ТПС типу CR є такі фірми: Bosch, Siemens (обидва з Німеччини), Denso (Японія), Delphi (США). Всі ці виробники використовують схему з дросельним керуванням за допомогою запирного клапана. Початок подані палива відбувається при відкритті клапана та розвантаження камери управління над голкою, закінчення - при закритті клапана та відновленні тиску через жиклер 7. Клапан 8 малогабаритний, отже швидкодіючий, через нього проходить не основний потік палива, що впорскується, а лише паливо необхідне на управління (витрата на управління).

З іншого боку, рух голки в ЕГФ забезпечується гідро підсиленням дії від клапана. Це на порядок знижує необхідну для керування електроклапаном потужність. Клапан розташований у порожній зливу, це полегшує його компонування, зберігає можливість охолодження, знижує вимоги до гідроцильності порожнини приводу, дозволяє його уніфікувати для різних дизелей. Саме такі конструкції реалізовані з 1997 р. у серійній продукції.

Найбільш складним елементом акумуляторної ТПС є ЕГФ (рис. 1.4) виготовлена з дуже високою точністю та чистотою поверхні. Форсунка фірми Bosch, торцевий електромагніт 11 (рис. 1.5 а) з дисковим якорем 10, ділаючи пружину 12, відкриває кульковий клапан 8. Тиск зверху від мультиплікатора 5 падає, і голка 2 відкриває прохід до соплових отворів. Після зレストрумлення електромагніту та посадки клапана тиск праворуч від мультиплікатора відновлюється через жиклер 7.

НУБІЙ Україні

Електрогідравлічна форсунка



1. сопло форсунки
2. пружина
3. камера управління
4. зливний дросель
5. якор електромагніта
6. зливний канал
7. електричний роз'єм
8. обмотка збудження
9. штуцер підведення палива
10. впускний дросель
11. поршень,
12. голка форсунки

Рисунок 1.5 Електрогідравлічна форсунка фірми Bosch

Проведений аналіз оснащеності технічного парку у машинно-технологічних

станціях (МТС) України підтверджує збільшення кількості тракторів і комбайнів, як безпосередньо оснащених силовими установками з ТА типу СЕ (таблиця 1.1).

Так, з 1998 року по 2021 рік загальна кількість комбайнів і тракторів збільшилося

більш ніж у 6 разів. У МТС України йде тенденція збільшення парку с/г техніки.

Слід зазначити, що понад 89% тракторів та комбайнів зарубіжного виробництва.

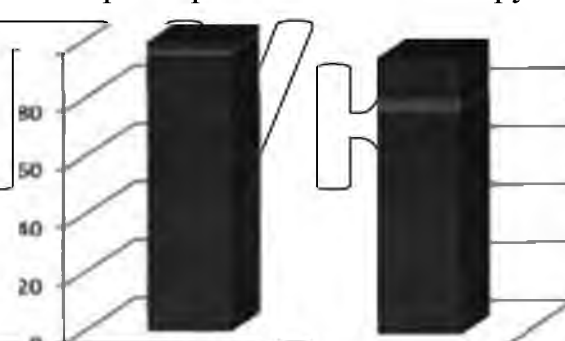


Рисунок 1.6 Розподіл ТА у МТС України з 2014-2021 р.

НУБІП України

Провівши аналіз таблиці 1.1 можна сказати, що нові моделі комбайнів та

тракторів в основному оснащуються ТПС типу CR, на 2021 рік становило 23% від загальної кількості. Рік у рік спостерігається зростання імпортної техніки За останні 7 років (з 2014 по 2021р.) у МТС України кількість ТПС типу CR зросла до 2,7 рази, а рядні ПНВТ скоротилося в 1,6 раза (мал. 1.6).

Таблиця 1.1

Наявність комбайнів і тракторів в МТС України

Показни ки	Типи ТПС	Роки												
		20 09	20 10	20 11	20 12	20 13	20 14	20 15	20 16	20 17	20 18	20 19	20 20	20 21
Наявніс ть зернозб иральни х комбайн ів	1	39	48	63	74	85	91	88	90	92	96	98	92	92
ДОН- 1500Б	2	3	4	5	6	7	8	9	10	11	12	13	14	15
Кейс- 2366	3	9	9	0	5	0	6	7	6	6	6	1	7	7
Кейс- 525	4	95	90	10	13	13	13	10	15	15	15	15	12	12
Рядни й ПНВТ	5	99	99	99	99	99	99	99	85	85	76	76	64	64
Кейс- 527	6	64	64	64	64	64	64	64	34	34	28	28	14	15
Нью- Холлан д TX 65	7	34	34	34	34	34	34	34	16	16	8	8	14	1
Нью- Холлан д TC-56	8	78	17	30	32	39	39	39	39	39	37	37	35	35
Нью- Холлан д CS 640	9	29	29	29	29	29	29	29	29	29	26	26	22	22
Нью- Холлан д CS 660	10								70	70	70	70	70	69
Нью- Холлан д CS	11								70	70	70	70	70	69
Common Rail	12								20	30	30	30	30	30

Нью-Холланд CSX 7080	6090	Нью-Холланд CSX-880	Джон-Дир 9550	Джон-Дир 9560	Доминатор Мега 208	Клаас 360	Клаас 370	Енисей 950	Дон-Вектор	Челенджер 647	КЗС-1218	"Полесье"	КЗС-812	"Полесье"
Нью-Холланд CSX-880	1	Наесос-форсунка		Рядний ПНВТ		Common Rail								
Джон-Дир 9550	20		20			35	25	25	25	10	10	15	25	25
Джон-Дир 9560	1		20			35	35	35	35	15	15	15	25	25
Доминатор Мега 208	1		20			35	35	35	35	15	25	15	25	25
Клаас 360	1		20			35	35	35	35	15	25	15	25	25
Клаас 370	1		20			35	35	35	35	15	25	15	25	25
Енисей 950	1		20			35	35	35	35	15	25	15	25	25
Дон-Вектор	1		20			35	35	35	35	15	25	15	25	25
Челенджер 647	1		20			35	35	35	35	15	25	15	25	25
КЗС-1218	1		20			35	35	35	35	15	25	15	25	25
"Полесье"	1		20			35	35	35	35	15	25	15	25	25
КЗС-812	1		20			35	35	35	35	15	25	15	25	25
"Полесье"	1		20			35	35	35	35	15	25	15	25	25

Така ж тенденція проглядається не тільки в підприємствах, які забезпечують

технічну допомогу в агропромисловому комплексі (АПК), в МТС, а й у інших галузях машинобудування.

На сьогоднішній день відбувається відставання вітчизняного дизелебудування від зарубіжного рівня, зокрема ТПС типу CR, насамперед це виявляється в галузі

НУБІП України

екологічних показників. Що й пояснює те, що деякі вітчизняні виробники техніки агрегатують або імпортними двигунами, чи імпортної ТА (Bosch, Zexel, Denso, Delphi, Lucas тощо.). Так, нові комбайні марки Acros 540 заводу «Ростсільмаш»

(Росія, м. Ростов на Дону) оснащуються двигунами Cummins з ТПС типу CR фірми Bosch.

Таким чином, вплив параметрів паливоподачі на техніко-економічні та екологічні показники дизеля не можуть бути досягнуті в оптимальних режимах без електронного керування, а саме без ТПС типу CR.

у сучасних автотракторних дизелях дедалі більше застосування знаходить ТПС типу CR, і в цих умовах забезпечення технічної готовності цієї техніки, зокрема ТА, стає найважливішим завданням центрів технічного сервісу ТА. У перспективі обсяг робіт із забезпечення працездатності дизелів із сучасними ТПС, зокрема CR, тільки збільшуватиметься.

1.2 Аналіз зміни параметрів паливоподачі форсунок типу Common Rail

у процесі експлуатації випробування

У процесі роботи автотракторних та комбайнових дизелів зношуються його деталі, з'являються несправності, причому найбільше їх посідає ДВЗ, головним чином, на ТА. В результаті їх зносу змінюються техніко-економічні та екологічні показники дизеля. Найбільш слабким вузлом ТА є форсунка, у якої швидше за інші вузли порушуються регулювання і робочі показники.

У зв'язку з цим нами було проведено низку досліджень щодо визначення найменш зносостійких елементів ТА.

В результаті досліджень встановлені найбільш схильні до відказу вузли ЕГФ. Топографія основних несправностей за вузлами та елементами ЕГФ фірми Bosch наведено на рисунку 1.7.

НУБІП України

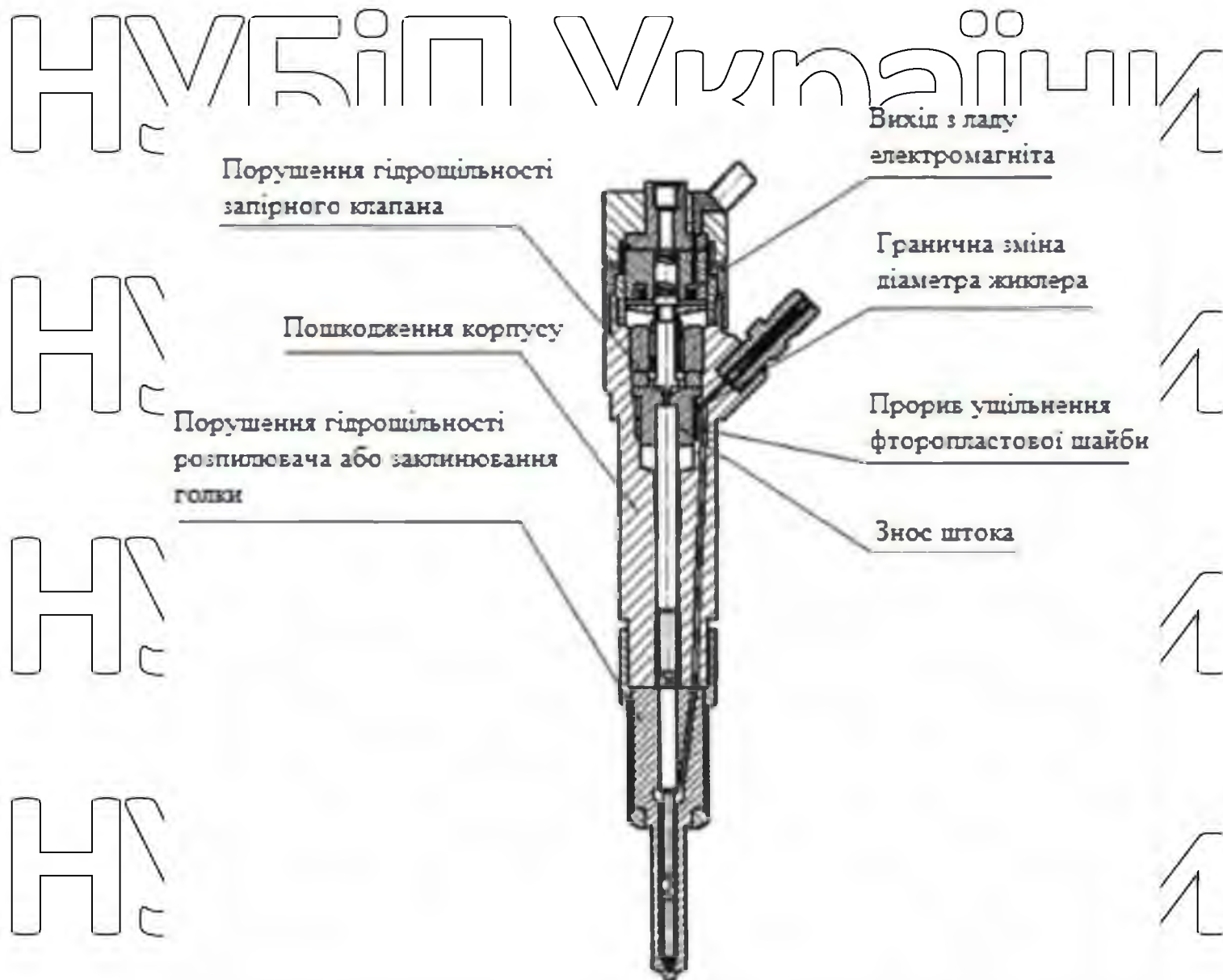


Рисунок 1.7 Топографія основних несправностей ЕГФ фірми Bosch

Ранжування відмов та кількісні параметри спостережень наведені в таблиці 1.2. Дані по третьй колонці таблиці складені на основі аналізу несправностей 980 форсунок, по четвертій - понад 950.

Дослідження показали, що у форсунок типу СК, фірми Bosch в Україні та у Великій Британії середній ресурс до ремонту приблизно одинаковий становить у автомобілів близько 80...100 тис. км пробігу, у тракторів - 2,1...2,5 тис. мотогодин.

Таблиця 1.2

Основні несправності форсунок типу СК фірми Bosch

№	Основні несправності	ТОВ «Башді-зель» м. Уфа, Росія	«Carwood motors units limited» Г.Бірмінгем, Великобританія	Відділ якості, Бош Дизель Центр, м.Хембург
---	----------------------	--------------------------------------	---	--

		Перевищення допусків за нормативами	Причина відмови	Перевищення допусків з нормативів	Причина відмови	Причина відмови
1	2	Порушення гідроцільності запірного клапана	90-95%	80%	10%	10%
2	Прорив ущільнення фторопластової шайби	10%	1%	40%	40%	25%
3	Порушення гідроцільності розпилювача або заклининня голки	40%	10%	80%	40%	30%
4	Знос штока	15%	2%	1%	1%	Немає даних
5	Гранична зміна діаметра жиклера	1%	1%	0%	0%	Немає даних
6	Вихід з ладу електромагніту	3%	3%	1%	3%	5%
7	Пошкодження корпусу	10%	2%	0,5%	5%	3%
8	Інші	1%	1%	2%	2%	2%
9	Разом	-	100%	-	100%	100%

Як і очікувалося, праність ЕГФ типу СР значною мірою визначається станом їх прецизійних вузлів. Разом з тим дослідження виявили суттєві відмінності у питомий вазі відмов ЕГФ у звисимості від умов експлуатації. Так, якщо в Україні велика частка відмов (80%) пов'язана з працездатністю запірного клапана, то у Великій Британії основний причиною відмов є: прорив фторопластової шайби та порушення гідроцільності або заклининня розпилювача. У європейській частині країн Євросоюза за даними стовпця п'ять таблиці 1.2, відмови ЕГФ типу СР визначаються зносом деталей клапанної групи,

НУБІЙ України

проривом фторопластової шайби та зносом розпилювача.

Вартість 1

складність ремонту окремих вузлів ЕГФ суттєво відрізняється (вартість розпилювача в середньому в 3-4 рази нижче вартості запірного, клапана зі штоком), що пояснюється технологічним процесом проведення ремонтно-налагоджувальних робіт. Так, заміна клапана в парі зі штоком призводить до зміни ходу якоря електромагніту і, як наслідок, виникає необхідність його регулювання застосуванням спеціальних вимірювальних інструментів, або проведенням багаторазового тесту на стенді з підбором необхідного розміру шайб. Процедура заміни розпилювача значно простіше та дешевше.

Внаслідок інтенсивної роботи ЕГФ, що супроводжується на відміну від традиційних форсунок значними перепадами тисків (від 150 МПа до 0,1 МП), числом упорскування до 5 за один робочий цикл поршня дизеля, вимоги до робочих зазорів у прецизійних сполученнях значно вище. Тому вимоги до складу та ступеня чистоти палива в системах CR значно жорсткіше у порівнянні з традиційними ТНС.

В українських умовах експлуатації, пов'язаних, інерш за все, з менш жорсткими вимогами порівняно з Європою до якісного складу палива (октанове число, вміст поліциклічних ароматичних вуглеводні та ін) через низьку якість очищення палива, прецизійні вузли працюють в критичних умовах. Зокрема, при попаданні сторонньої частки до зони контакту клапанної пари при русі великим ймовірністю утворення лінії на сідлі клапана, по якій надалі під високим тиском просочується паливо. Сідло клапана з боку акумулятора протягом усього часу роботи дизеля постійно знаходиться під робочим тиском, починається інтенсивний прорив палива та збільшення зазору у прецизійній парі, внаслідок чого спостерігається все зростаюча витрата палива по керуючій лінії, і дякуючи цьому немає великих навантажень на фторопластову шайбу. Цим пояснюється менше відмов форсунок через прорив ущільнювальної шайби в Україні у порівнянні з Європою. Разом з тим, збільшення витрати через клапанну пару призводить до порушення працевдатності клапанного вузла через гідророзмивного зношування.

НУБІЙ Україні

Питання відпрацювання технологій ремонту на наш погляд вимагають суттєвого значення уваги, оскільки сучасні ТПС, у тому числі CR, є високотехнологічними продуктами, і в Україні поки немає навіть дрібносерійного виробництва елементів CR. Слід зазначити, що великі територіальні простори України зумовлюють складність контролю за дотриманням нормативних вимог до якості палива на різних заправках різних автозаправок.

Таким чином, проведені нами дослідження показали, що експлуатаційні умови значною мірою визначають показники надійності окремих вузлів і в цілому ЕГФ типу CR фірми Bosch. Низька якість палива, а також вміст у паливі механічних домішок і води, більшою мірою впливає на зниження ресурсу роботи ЕГФ, порівняно з форсунками традиційних ТПС. Існуючі технології та методи ремонту та оцінки прогнозуючого ресурсу форсунок типу CR сучасних ТПС орієнтовані для зарубіжних країн і не враховують повною мірою особливостей їх експлуатації та якості палива в Україні.

У зв'язку з цим актуальним є дослідження з розробки обладнання та технологій ремонту форсунок типу CR, з урахуванням українських умов експлуатації.

1.3 Аналіз способів технологій ремонту та випробування форсунок типу Common Rail

На сьогоднішній день у ряду виробників ЕГФ типу CR розроблено список робіт з обслуговування форсунки, із зазначенням періодичності їх проведення. Регламент технічного обслуговування (ТО) форсунки.

На даний момент ТО ЕГФ акумуляторної ТПС типу CR залежить від фірми-виробника має на увазі два види обслуговування - заміна деталей виходячи з її технічного стану, за ~~тимчасовими інтервалами~~ або кілометражем пробігу (від 100 до 150 тис. км.) та регулювання за допомогою регульовальних шайб. Визначення технічного стану ЕГФ типу CR здійснюється за допомогою спеціалізованого діагностичного обладнання рекомендоване фірмами - виробниками форсунки.

Операції з регулювання проводять у певній послідовності, з високою точністю та суверим дотриманням вимог щодо чистоти. На сьогоднішній день найбільш популярні фірми-виробники, випускають

НУБІП України

акумуляторну ТІС типу CR: Bosch, Siemens (Німеччина), Delphi (США), Denso (Японія). У Росії виробництвом ЕГФ типу CR Алтайський завод прецизійних виробів (АЗПИ, Росія).

Технології ремонту та інформацію щодо збирання форсунок та їх регулювання надають лише фірми Bosch, Delphi та АЗПИ. Фірма Bosch пропонує технологію 3-ступінчастого ремонту ЕГФ. Перші два шаблі ремонту мають на увазі заміну тільки розпилювача і ущільнюальної фторопластової шайби, і не включає жодних регулювань. Третій ступінь передбачає заміну деталей ЕГФ з регулюванням основних параметрів за допомогою регулювальних шайб.

Технологія ремонту фірма Delphi полягає в заміні запірного клапана та розпилювача. В силу конструктивних особливостей в ЕГФ фірми Delphi всі внутрішні деталі затягуються однією гайкою (гайкою розпилювача).

Технологія ремонту фірма АЗПИ полягає в заміні деталей (розпилювача, запірного клапана) з відповідними регулюваннями.

Проведений аналіз технологій ремонту форсунок типу CR показав, що вони розраховані тільки на зарубіжні країни і не враховують повною мірою особливостей їх експлуатації та якості палива в Україні.

У зв'язку з цим мною на кафедрі «Трактори та автомобілі» НУБІП було вдосконалено технологію фірми Bosch. Погодження технології Bosch, при надходженні на ремонт ЕГФ проходить перевірку на стенді, де проводиться її діагностична оцінка за величиною циклової подачі та витрати палива, що йде на управління на основних режимах при різних робочих тисках у рампі. Причиною збільшення витрати палива на управління можуть бути наступні недієсправності: порушення гідроцільності запірного клапана, знос штока, прорив ущільнення фторопластової шайби, пошкодження корпусу та торцевої поверхні розпилювача.

Наступними етапами процесу ремонту є розбирання, ультразвукове промивання та дефектування елементів та вузлів ЕГФ (кроки 2-3 за рисунком 1.3).

Проведені нами дослідження показали, що на відміну від Англії, основний фактор відмов ЕГФ в Україні є порушення герметичності запірного клапана,

НУБІП України

обумовлене появою на поверхні ущільнення ліній та її подальшим гідроерозійним розмивом у напрямку градієнта зниження тиску

При цьому за технологією Bosch, при виявленні зношування запірного клапана рекомендується його заміна в парі зі штоком (крок 4 на рисунку 1.3). У зв'язку з тим, що клапанна пара є одним з найскладніших у виготовленні та дорогим за вартістю елементом ЕГФ, було введено у стандартну технологію фірми Bosch три додаткові операції з відновленням працездатності запірного клапана в умовах спеціалізованого підприємства: 5 (притирання), 6 (промивання) та 7 (оцінка якості поверхні запірного конуса).

Слід відмітити, що ця технологія може застосовуватися для відновлення працездатності ЕГФ, на запірному клапані яких спостерігаються зноси глибиною не більше 0,05мм. Як показали, наші подальші дослідження в 90% випадків у відновлених клапанів глибина ліній не перевищує 0,03мм.

Подальший процес ремонту ЕГФ йде відповідно до технологією Bosch, включаючи всі необхідні регулювання. Разом з тим, що на сьогодні не досліджено достатньо питань збереження експлуатаційних показників відремонтованих вузлів ЕГФ. Зокрема показники по твердості та зносостійкості відновлених поверхностей клапанного вузла. У зв'язку з цим слід визнати виконання таких досліджень дуже актуальними.

13 Аналіз вимірювальних пристрій, що застосовуються для ремонту форсунок типу Common Rail

У процесі ремонту та регулювання ТА виникає необхідність у вимірюванні, наприклад, ходу якоря ЕГФ типу CR, ходу коректора ПНВТ та ін., вимірювальних з точністю до сотих часток міліметра. На даний момент для вимірювання малих переміщень при регулюванні та ремонти ТА дизелів використовують механічні годинникові індикатори (рис. 1.8). За допомогою мікрометра та штангенциркуля вимірюють товщину регулювальних шайб.

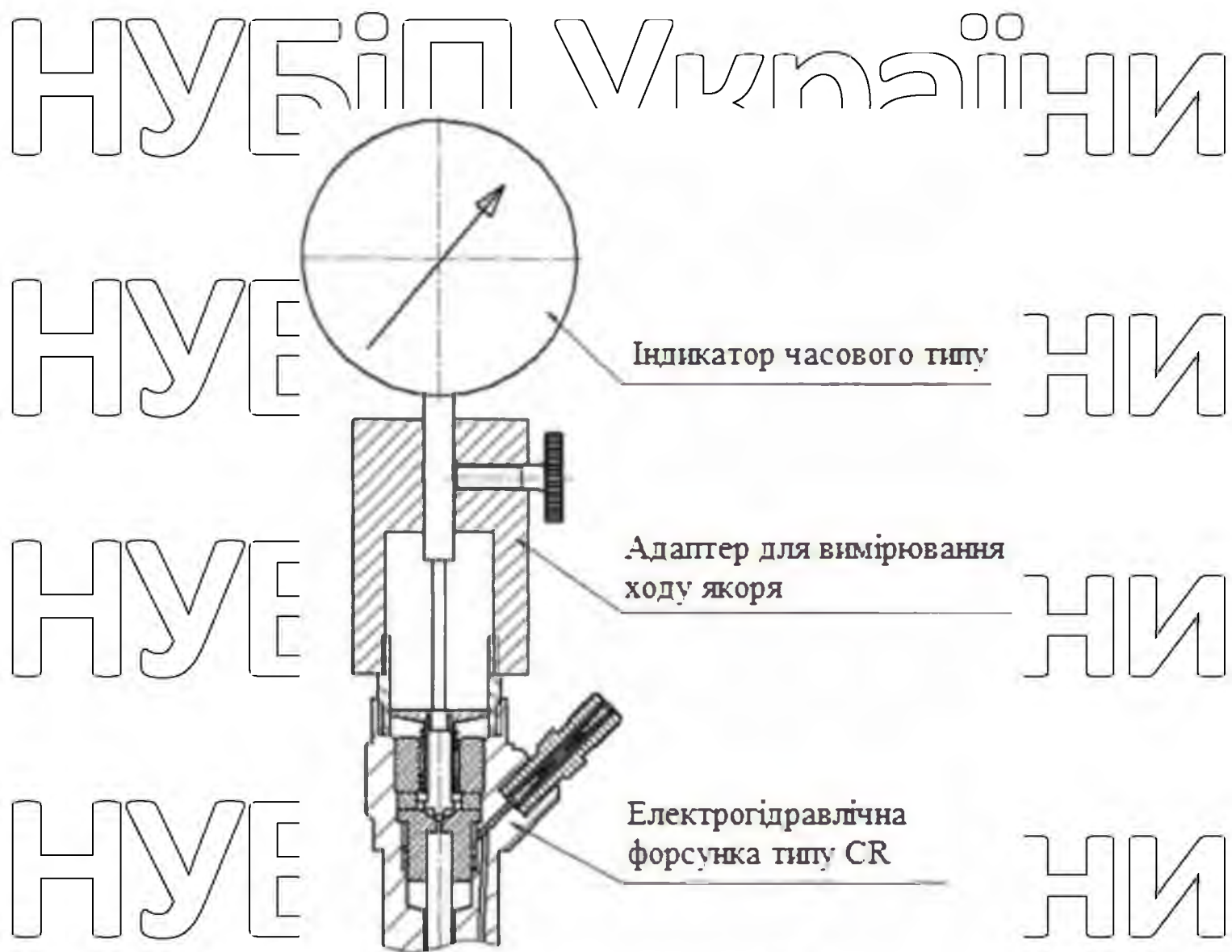


Рисунок 1.8 Схема вимірювання ходу якоря індикатором годинного типу

Призначені для вимірювання лінійних розмірів абсолютною та відносним методами, визначення величини відхилень від заданої геометричної форми та взаємного розташування поверхонь. Для вимірювання ходу якоря ЕГФ типу CR за допомогою індикатора годинного типу необхідний адаптер (рис. 1.8), що ускладнює монтаж пристрою, через різні конструктивні особливості форсунок.



Рисунок 1.9 Вимірювальні пристрої під час ремонту форсунок:

а) індикатори годинного типу ИЛ, ИТ ГОСТ 577-68; б) штангенциркуль (ГОСТ 166-89); в) мікрометр гладкий тип МК ГОСТ 6507-90

Індикатори годинного типу ИЧ, ИТ ГОСТ 577-68 (рис. 1.9). Індикатори з

діапазоном виміру 0 - 2 мм випускаються у двох виконаннях:

ИЧ - з переміщенням вимірювального стрижня паралельно шкалі;
ИТ - з переміщенням вимірювального стрижня перпендикулярно до шкали.

Кріплення індикаторів або за приєднувальну гільзу діаметром 887, або за вушко товщиною 5 мм із приєднувальним отвором діаметром 5 мм.

На замовлення споживача індикатори постачаються:

зі стопором обідка;
пересувними для відведення стрижня;
показчиками вимірювального пояся допуску;

- подовженим наконечником із твердого сплаву НРДС-1,6 або НРДС-5 другого класу точності згідно з ГОСТ 11007-66;

- сталевим подовженим вимірювальним наконечником НРДС-0,6 другого класу точності згідно з ГОСТ 11007-66;
- наконечником з твердого сплаву з плоскою вимірювальною поверхнею НРІ-1

та НРІ-8 другого класу точності за ГОСТ 11007-66. Клас точності 051.

НУБІП Україні

Таблиця 1.3

Технічні характеристики індикаторів вартового типу ИЧ, ИТГОСТ 577-68

Модель	Діапазон вимірювання, мм	Цена поділки, мм	Габарити, мм
ИЧ02	0-2	0,01	75x42x23
ИТ02	0-2	0,01	63x46x42
ИЧ05	0-5	0,01	86x42x23
ИЧ10	0-10	0,01	108x56x24
ИЧ25	0-25	0,01	159x85x51
ИЧ50	0-50	0,01	199x85x51

Приклад позначення індикатора годинного типу виконання ИЧ з діапазоном вимірювання 0-2 мм, класу точності 0. Індикатор ИЧ-02 кл. 0 ГОСТ 577-68 (рис. 1.9).

Штангельциркулі ГОСТ 166-89 виготовляються з вуглецевої з хромовим покриттям та нержавіючої сталі, зі значенням відліку по ноніусу 0,05 мм та 0,1 мм, 1 та 2 класів точності.

Призначенні для вимірювання зовнішніх та внутрішніх розмірів та розмічувальних робіт.

Вимірювальні поверні мікрометра оснащені твердим сплавом.

Прилад укомплектований одним настановним заходом для діапазону вимірювань до 300 мм та двома настановними заходами - понад 300 мм. (Таблиця 1.3)

Межа допустимої похибки ± 15 мм, ціна поділу 0,01 мм, діаметр гладкої частини мікрометричного гвинта 8h9 мм.

Таблиця 1.4

Технічні характеристики мікрометрів

Модель	Діапазон вимірювань, мм	Габаритні розміри, мм
МК25	0-25	125x67x23
МК50	25-50	155x75x23
МК75	50-75	183x86x23
МК100	75-100	211x105x23
МК125	100-125	242x144x23
МК150	125-150	268x163x23
МК175	150-175	293x176x23
МК200	175-200	320x196x23
МК225	200-225	348x219x23

МК250	225-250	376x244x23
МК275	250-275	402x255x23
МК300	275-300	427x267x23
МК400	300-400	530x302x29
МК500	400-500	631x365x29
МК600	500-600	730x435x29
МК700	600-700	830x505x30
МК800	700-800	930x575x30
МК900	800-900	1030x640x30
МК1000	900-1000	1130x675x30

Існуючі прилади не дозволяють з достатньою точністю визначати регулювальні параметри після зміни геометричних розмірів внаслідок проведеного ремонту, у зв'язку з чим було запропоновано ряд лазерних вимірювачів переміщення, зокрема лазерний вимірювач дальності та переміщень, авт. св. №2393427 МПК 601C3/08, Лазерний вимірювач переміщень, авт. св. №271181 СРСР МПК 6019/02). Недоліком прототипу є відсутність можливості вимірювання переміщень у важкодоступних місцях при ремонті та регулюванні ТА. Наступним недоліком моделі є складність монтажу, не висока точність виміру переміщення.

зв'язку з цим розробка спеціальних безконтактних пристройів оцінки малих переміщень прецизійних елементів є актуальним завданням при ремонті та регулюванні ЕГФ типу CR.

1.4 Перспективи регулювання сучасних паливних систем.
У широкому плані управління працездатністю паливоподавальної системи передбачає оптимальне формування всіх складових безвідмовності, довговічності, ремонтопридатності, збереження і включає всі заходи прийняття, спрямовані на підтримку основних показників у заданих рамках протягом потрібного часу або напрацювання.

Як відомо, регулювання ЕГФ типу CR являють собою набір операцій, що вимагають високої кваліфікації виконавця, спеціалізованого високоточного обладнання та наявності технічної інформації. Слід відміти, що на сьогоднішній день в Україні відсутні будь-які стандарти, регламентуючі методи перевірки або

НУБІП України

регулювання ЕГФ, на відміну від традиційних ТНС (регламентуються стандартом ГОСТ 10578-95 для форсунок).

Перелік «механічних» регулювань ЕГФ типу СР фірми АЗПИ: 1.

Розпилювач

1.1 Діаметральний зазор у парі голка-корпус розпилювача $0,002\text{--}0,003\text{мм}$ (перевіряти гідроцільність при падінні тиску від 200 до 180 кг/см² має бути від 15 до 30 с);

1.2 Повний хід голки розпилювача - регулювати підбором регулювальної приставки повинен бути $0,3\pm0,003\text{ мм}$;

1.3 Зусилля пружини розпилювача регулювати за допомогою регулювальної прокладки на $3\pm0,1\text{ кгс}$;

1.4 Повний ефективний прохідний переріз отворів на робочому ході $j_{uf} = 0,145\text{--}0,150\text{ мм}^2$;

2 Клапан:

2.1 Діаметральний зазор у парі корпус клапана - поршень клапана $0,002\text{--}0,003\text{мм}$ (перевіряти гідроцільність при падінні тиску від 300 до 200 кг/см² має бути від 30 до 40 с);

2.2 Повний хід клапана, регулювати підбором дистанційного кільця, має бути $0,05\text{--}0,003\text{ мм}$;

2.3 Зазор під якірем, регулювати підбіранням регулювальної шайби, повинен бути $0,05\pm0,01\text{мм}$;

2.4 Повний ефективний прохідний переріз впускного жикlera $0,03\pm0,0002\text{ мм}^2$;

2.5

2.6 Герметичність ущільнюального конуса корпусу клапана. Перевіряти тиском повітря 4 кгс/см^2 у ванні з дизельним паливом, повсяки бульбашок не допускається;

3 Електромагніт:

3.1 Діаметральний проміжок у парі штовхач-електромагніт $0,005\text{--}0,01\text{мм}$;

3.2 Діаметральний зазор у парі штовхач-якір $0,002\text{--}0,003\text{мм}$;

3.3 Індуктивність електромагніту (без штовхача та якоря) не більше 90 мкГн ;

НУБІП України

3.4 Різниця у значеннях індуктивностей електромагнітів форсунок мотокомплекту, трохи більше 4%;

3.5 Зусилля пружини електромагніту $6+0,1$ кг. Регулювати підбором

регулювальної шайби;

3.6 Повітряний зазор електромагніту $0,05+0,005$ мм;

3.7 Герметичність верхнього конуса електромагніту. Перевіряти тиск повітря 4

kgs/cm^2 у ванні з дизельним паливом, появі бульбашок не допускається.

4. Моменти затягування різьбових деталей:

4.1 Гайка розпилювача – $55+5$ Нм;

4.2 Гвинт клапана $70+5$ Нм;

4.3 Гайка електромагніту $30-5$ Нм;

Після проведення регулювальних робіт згідно технології фірм-виробників проводиться перевірка працездатності форсунки на спеціальних стендах.

Послідовність складання та розбирання, а також каталожні номери деталей та

регулювальних шайб вказана в програмі ESI-tronik.

ЕГФ типу CR є високоточними пристроями, які можуть здійснювати до

100mm^2 / цикл під тиском до 180 МПа. Необхідна точність виготовлення

прецізійних деталей форсунки на сьогоднішній день становить близько 1

мкм, за даними фірми Bosch за останні 30 років допуски при Р та О паливних

систем зменшилися у 100 разів.

Тим часом, внаслідок змінності розмірів у полі допусків на обробку,

втрати тиску, механічне тертя між частинами в русі, сила тяжіння електромагніта

можуть бути різні в різних форсунках. У зв'язку з цим, можлива різниця в q, тому

фірми - виробники переходят на електронне кодування ЕГФ.

Код форсунки складають на основі визначення залежності паливоподачі від

геометричних, гідрравлічних, електрических параметрів конкретної форсунки.

НУБІП України

РОЗДІЛ 2 РОЗРАХУНОВО-ТЕОРЕТИЧНІ ДОСЛІДЖЕННЯ ПО УДОСКОНАЛЕННЮ ТЕХНІЧНОГО ОБСЛУГОВУВАННЯ ТА РЕМОНТУ

ЕГФ

2.1 Інформаційна модель забезпечення працездатності ЕГФ

Показники якості роботи дизеля, зокрема ЕГФ, визначаються сукупністю параметрів технічного стану, що залежать від ряду експлуатаційних факторів (обсягу та характеру виконуваних робіт, ґрунтово-кліматичних умов, якість палива), прийнятої системи технічного обслуговування та ремонту, якості та наявності технічних засобів обслуговування та технічної документації, якості виконання правил експлуатації та ТО машин.

У зв'язку з цим керування параметрами технічного стану можна роздивитись певною мірою як спосіб і метод впливу на зміни цих показників якості роботи та надійності протягом експлуатаційного терміну. Під керуванням технічним станом паливої апаратури, а також ЕГФ слід розуміти цілеспрямовані, попере джуvalльні відомви, технічні впливи по відновленню номінальних значень та підтримці у допускових межах сукупності параметрів технічного стану. Таким чином, форсунку можна визначити як об'єкт, що функціонує у взаємозв'язку з особистими експлуатаційними факторами має свої певні закономірності виміру.

Систему забезпечення працездатності ЕГФ можна подати у вигляді інформаційної моделі (рис. 2.1).

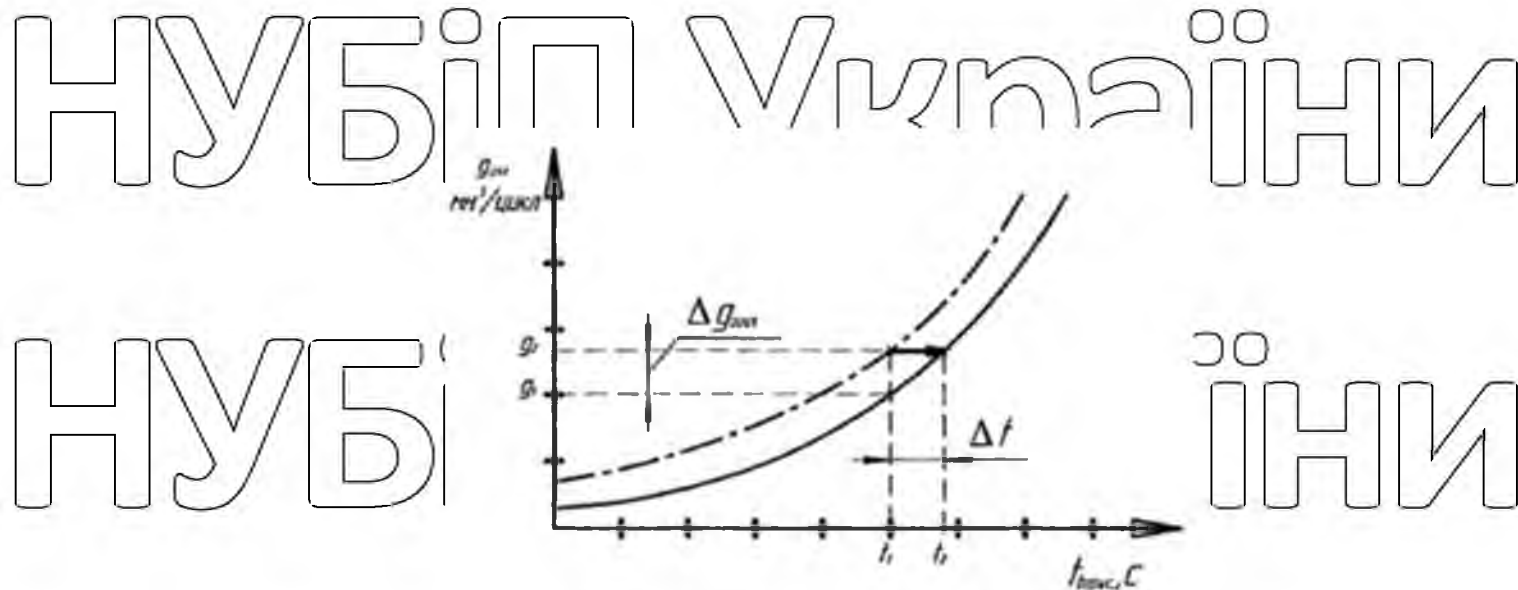


Рисунок 2.1) Інформаційна модель забезпечення працевдатності ЕГФ

В такій системі вхідними параметрами є вектори А (a_1, a_2, \dots) - експлуатаційний фактор та вектор В (b_1, b_2, \dots) - конструктивний параметр. Складовими вектора А є: природно-кліматичні умови, якість палива, вологість повітря, сезонні та добові коливання температур та ін. Складові конструктивного параметра вектора А змінюються в процесі роботи: зусилля пружини, гідрощільність прецизійних деталей і хід якоря.

Керуючими факторами в моделі виступають складові вектора С (c_1, c_2, \dots). До них можна віднести ремонт з наступними регулюваннями механічна та електронна. При цьому внаслідок електронного регулювання повинен формуватися змінений ІМА код, який коригує базову характеристику управління паливоподачею (БХУТ) з урахуванням післяремонтних характеристик ЕГФ.

Іншим керуючим фактором у моделі можна визначити вектор D (d_1, d_2, \dots, d_x) до його складових можна віднести тривалість застосування керуючих імпульсів електронного блоку та ін. параметри, які закладені в конструкцію паливної системи у вигляді базових характеристик управління паливоподачею.

Значення вихідного вектора Про певний спосіб залежить від стану входів:

$$9 = \{ \mathbf{A}, \mathbf{B}, \mathbf{C}, \mathbf{D} \} (2.1)$$

НУБІЙ Україні
де F – оператор перетворення чотирьох векторних аргументів, визначений узагальнений показник якості системи або критерій її оптимальності, завдань в аналітичній формі.

НУБІЙ Україні
Якщо фактична узагальнена оцінка працевдатності стану ЕГФ 0% і сукупність його оціночних показників 4%, менше або дорівнює його допусковим значеням Оз, та, то можна вважати, що він функціонує у відповідності з встановленими вимогами. Критерії нормального функціонування системи можуть бути визначені як:

НУБІЙ Україні
4 5 [Чо 0 [б] 220
Оцінки параметрів роботи ЕГФ, що визначаються діагностуванням, повинні містити кількісні характеристики, що дозволяють оцінити їх у рамках допускових значень. При перевищенні допускових оцінених відхилень параметрів необхідно впливати на систему коригуючими факторами для приведення у нормальній стан.

НУБІЙ Україні
Якщо це не відбувається, то потрібно змінити коригувальні параметри шляхом регулювання, відновлення або заміни деталей.

НУБІЙ Україні
Найбільш перспективним у забезпеченні працевдатності систем з електротронним управлінням є інтеграція «механічної» та «електронної» складової перевірки та налаштування, в інформаційній моделі (мал. 2.1) показана, як керуючий фактор.

2.2 Методика індивідуального коригування базових характеристик управління паливоподачею ЕГФ при технічному обслуговуванні

НУБІЙ Україні
Як зазначалося, у першому розділі дисертації, показники надійності та стабільність параметрів ТПС з електронним управлінням можуть бути покращені,

НУБІЙ Україні
за рахунок комплексного підходу («механічного» та «електронного» налаштування) шляхом збільшення періоду безвідмовної роботи ТПА.

НУБІЙ Україні
Спостерігається тенденція «персоналізації» технічного обслуговування, тобто налаштування та регулювання конкретної ЕГФ до певного двигуна. При цьому процес перевірки та налаштування відбувається, як правило, в автоматичному режимі у відповідність з тест - планами фірм виробників ТА та (або) обладнання для випробування.

НУБІП України
Слід зазначити, що електронне управління ТПС дає можливість гнучкої коригування параметрів паливоподачею через ЕБУ навіть за значущих відхиленнях геометричних розмірів і гіdraulічних характеристик прецизійних елементів ТНА, що дає нам можливість розширити допускові величини контрольних розмірно-гіdraulічних параметрів елементів ТНА як при складанні, так і при ТО ЕГФ типу СР.

Для розширення можливості вдосконаленої технології ремонту ЕГФ типу СР була розроблена методика індивідуального коригування параметрів форсунки при ТО (рис. 2.2).

На рисунку 2.2 графічно представлена схема електронного механізму коригування. Для корекції циклової подачі g_1 відремонтованої форсунки та доведення її до рівня тестового значення g_2 стандартної форсунки, необхідно збільшити тривалість керуючого імпульсу на Аг. Це просто може забезпечуватись електронною корекцією БХУТ.

Рисунок 2.2 – Схема механізму визначення періоду Δt для корекції циклової

подачі g_1 відремонтованої форсунки та доведення її до рівня тестового значення g_2 стандартної форсунки

Для визначення допускових параметрів ЕГФ за тривалістю керуючого імпульсу Аг була розроблена математична модель. На основі відомих законів руху механіки пружних тіл та електромагнетизму було виведено формула визначення тривалості управлюючого імпульсу. Таким чином, перспективи підвищення надійності ТНА пов'язані зі зміною технології індивідуального коригування параметрів ЕГФ при ТО, збільшуючи цим міжремонтний ресурс форсунки.

2.3. Математична модель для визначення тривалості керуючого імпульсу ЕГФ.

Швидкодія ЕГФ типу СР в умовах роботи на дизельному двигуні залежить від 4 основних компонентів системи паливоподачі:

НУБІП

ЕБУ

т.е,

від

- Керуючого електромагніту, спрацьовування

та

України

подаподаючого

керуючого

сигналу;

т.е. від ступеня його інерційності (час розмагнічування електромагніту);

Керуючого клапана т.е. від швидкості відкриття та закриття клапана;

Голки розпилювача, тобто від часу опускання і підняття голки розпилювача;

Т.е. швидкодія ЕГФ залежить від швидкодії керуючого клапана та від її гіdraulічної системи. Швидкодія управлюючого клапана багато в чому визначається роботою її електромагнітного вузла. Швидкодія гіdraulічної

системи ЕГФ, що приводить в рух голку розпилювача, залежить від конструктивно - регулювальних параметрів форсунки.

Вперше методи розрахунку процесів ЕГФ акумуляторних систем були запропоновані Пінським Ф.М. але його математичні моделі були орієнтовані на суднові та транспортні дизелі великої потужності.

Одним з методів розрахунку процесу ЕГФ акумуляторної системи був детально вивчений при розробці форсунки БашГАУ та описаний у роботах д.т.н. Габи-това И.И., д.т.н. Неговори А.В., к.т.н. Габбасова А.Г.

Аналіз результатів дослідження, впливу тривалості керівного сигналу на базові характеристики управління паливоподачею, дозволив розділити весь процес

паливоподачі на кілька етапів:

1. перший етап (i) включає - швидкість спрацьовування електромагнітного якоря та голок розпилювача; час підняття якоря та голок розпилювача;

2. другий етап (1) - час розмагнічування електромагніту, час опускання якоря та голок розпилювача;

Рисунок 2.3

ЕГФ фірми Bosch: t_c - тривалість керуючого імпульсу, мкс; $t_{\text{вр}}$ - тривалість

упорскування, мкс.

НУБІП

України

НУБІП Україні

$$\left\{ \begin{array}{l} t_{\text{спр.}} = t_c - t_1 + t_2; \\ t_1 = t_{\text{спраб.зз.}} + t_{\text{под.якоря}} + t_{\text{под.шл.}}; \\ t_2 = t_{\text{разм.зз.}} + t_{\text{оп.якоря}} + t_{\text{оп.шл.}}. \end{array} \right.$$

На рисунку 2.3 представлена розрахункова схема тривалості керуючого імпульсу стосовно ЕГФ типу CR фірми Bosch.

де t_c -Тривалість керуючого імпульсу, мкс;

$t_{\text{впр.тривалість}}$ - впорскування, мкс;

$t_{\text{спр.ел.час}}$ - спрацьовування якоря, мкс;

$t_{\text{під.якоря-підняття}}$ - електромагніту, мкс;

$t_{\text{під.голки-час}}$ - підняття голки розпилювача, мкс;

$t_{\text{роз.елм.}}$ - час розмагнічування електромагніту, мкс;

$t_{\text{оп.якоря}}$ - час спускання якоря, мкс;

$t_{\text{оп.голки}}$ - час спускання голки розпилювача, мкс.

Для визначення тривалості переміщення якоря та голки розпилювача

скористаємося формулою:

$$M \times \frac{d^2 h}{dt^2} = \sum N;$$

де M - маса рухомого елемента (якір, голка розпилювача), кг;

$\sum N$ - сума сил, що діють на рухомий елемент, Н.

Рух голки форсунки відбувається під дією сил (рис. 2.4), визначених силою

затяжкою і жорсткістю пружини розпилювача, що прагнуть пригнутти її до

сідла, і сил тиску палива, що прагнуть відірвати її від сідла клапана.

НУБІП Україні

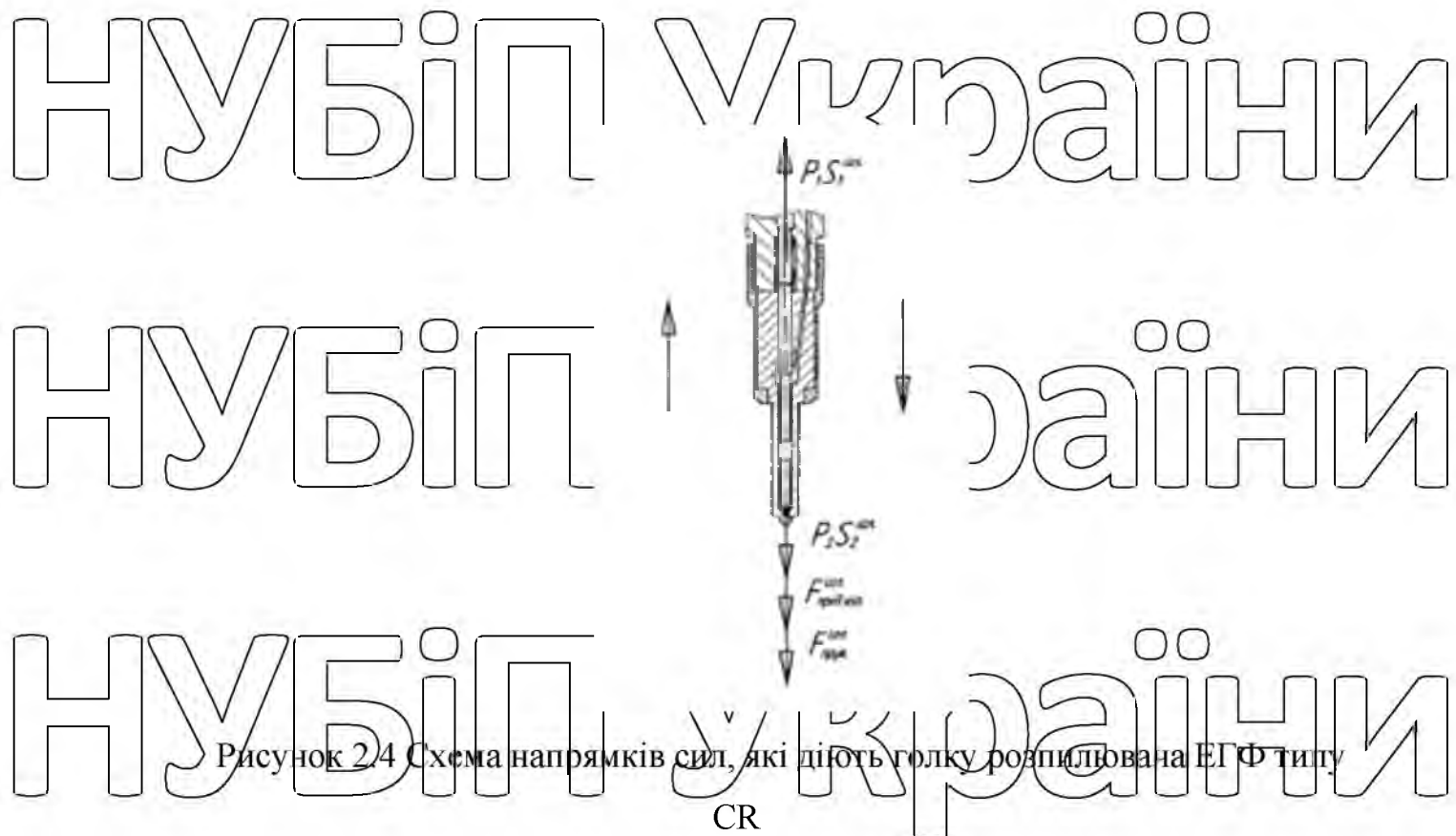


Рисунок 2.4 Схема напрямків сил, які діють голку розпилювана ЕГФ типу CR

Розглянувшись всі сили, які діють якір ЕГФ типу CR, підставивши в формулу 2.4, отримаємо рівняння, що описує рух (підняття) голки розпилювача:

$$M_{\text{мл}} \times \frac{d^2 h_{\text{мл}}}{dt_{\text{под.мл.}}^2} = P_1 \times S_1^{\text{акт}} - P_2 \times S_2^{\text{акт}} - F_{\text{пред.жм.}}^{\text{акт.}} - C_{\text{ср.распл.}} \times h_{\text{мл.}}; \quad (2.6)$$

де M - сумарна маса голки розпилювача (зі штангою та $\frac{1}{3}$ пружини розпилювача),
 h - хід голки розпилювача, м.
 t - час підняття голки розпилювача, с.

P_1 - атмосферний тиск (протидавлення), $\text{Па};$

P_2 - площа поперечного перерізу голки розпилювача, $\text{м}^2;$

E - тиск керуючій затяжки пружини порожніці розпилювача, $\text{Га};$

S - сила попередньої жорсткості пружини розпилювача, Н.П.

Так як рухи голки розпилювача рівноприскорене прямолінійне без початкової швидкості час підняття розпилювача з урахуванням формули 2.6 буде мати такий

вигляд:

$$t_{\text{под.зат.}} = \sqrt{\frac{2 \times h_{\text{мез.}} \times M_{\text{мез.}}}{P_1 \times S_1^{\text{мез.}} + P_2 \times S_2^{\text{мез.}} + F_{\text{пред.зат.}}^1 + C_{\text{пр.распыл.}} \times h_{\text{мез.}}}};$$

Рівняння, що описує рух (відпускання) голки розпилювача:

$$M_{\text{мез.}} \times \frac{d^2 h_{\text{мез.}}}{dt_{\text{под.зат.}}^2} = P_1 \times S_1^{\text{мез.}} - P_2 \times S_2^{\text{мез.}} - F_{\text{пред.зат.}}^1 - C_{\text{пр.распыл.}} \times h_{\text{мез.}},$$

де $M_{\text{мез.}}$ - сумарна маса голки розпилювача (зі штангою та 1/3 пружини розпилювача),

1, 1 я р.	хід час атмосферний	підняття тиск	голки	розпилювача	М:
.5=	площадь поперечного		сечения	иглы	распылителя, м ² ;
P-	давление в		управляющей		полости, Па;
Сл-ни	сила предварительной	затяжки	пружины	распылителя,	Н:
-	Жесткость	пружины	распылителя,		Н.И.м.

Перетворюючи рівняння 2.8 отримаємо:

$$t_{\text{отр.зат.}} = \sqrt{\frac{2 \times h_{\text{мез.}} \times M_{\text{мез.}}}{P_1 \times S_1^{\text{мез.}} - P_2 \times S_2^{\text{мез.}} - F_{\text{пред.зат.}}^1 - C_{\text{пр.распыл.}} \times h_{\text{мез.}}}},$$

$$(2.9)$$

$$\text{НУБІП України}$$

$$\text{НУБІП України}$$

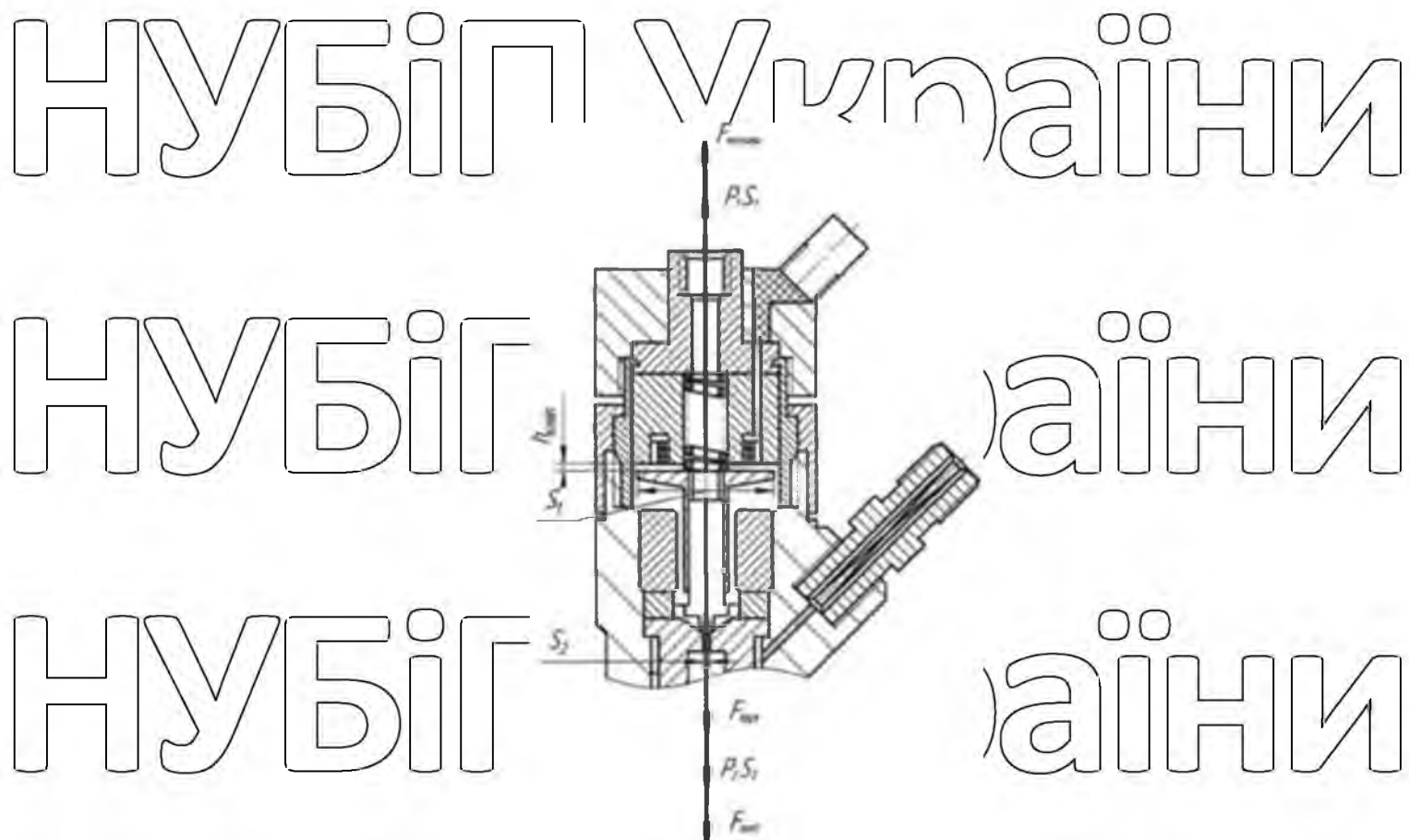


Рисунок 2.5 Схема напрямків сил, які діють якір ЕГФ типу СР

Аналогічно отримуємо рівняння з урахуванням усіх сил (рис. 2.5), що описує рух (відкриття клапана) підняття якоря:

$$M_{\text{якоря}} \times \frac{d^2 h_{\text{клап.}}}{dt_{\text{под.клап.}}^2} = P_1 \times S_1^{\text{клап.}} - P_2 \times S_2^{\text{клап.}} - F_{\text{пред.зам.}}^2 + F_{\text{макс.}} - C_{\text{пр.клап.}} \times h_{\text{клап.}}; \quad (2.10)$$

де $M_{\text{якоря}}$ - сумарна маса якоря (якір 1/3 пружини клапана), кг; $t_{\text{под.клап.}}$ - час хід підняття якоря, сек.; P_1 - атмосферний тиск (протидавлення), Па; S_1 - площа поперечного перерізу каналу клапана, м²; P_2 - тиск переднього клапана, Па; $F_{\text{пред.зам.}}$ - сила затягування клапана, Н; $C_{\text{пр.клап.}}$ - жорсткість пружини клапана, Н/м.

Перетворюючи рівняння 2.10 отримаємо:

$$t_{\text{под.клап.}} = \sqrt{\frac{2 \times h_{\text{клап.}} \times M_{\text{клап.}}}{P_1 \times S_1^{\text{клап.}} + P_2 \times S_2^{\text{клап.}} + F_{\text{пред.зам.}}^2 + F_{\text{макс.}} + C_{\text{пр.клап.}} \times h_{\text{клап.}}}};$$

НУБІП України

Рівняння, що описує рух (закриття клапана); відпускання якоря:

$$t_{\text{отпус.клап.}} = \sqrt{\frac{2 \times h_{\text{клап.}} \times M_{\text{якоря}}}{P_1 \times S_1 - P_2 \times S_2 - F_{\text{пред.зам.}}^2 - C_{\text{п.клап.}} \times h_{\text{клап.}}}};$$

Сила тяжіння магнітної котушки залежить від зазору між котушкою та якорем (повітряний зазор), знайти можна за допомогою рівняння Максвелла, яка у випадку малого зазору записується в наступному вигляді:

$$F_{\text{маг.}} = \mu_0 \times B_{\delta} \times S \quad (13)$$

де магнітна індукція в зазорі, Ти (залежить від величини постійна: 5 - площа перерізу полюсів, мм²).

НУБІП України

Магнітна індукція В визначається за фрмулою:

$$B = \sqrt{\frac{F_3}{0,04 \cdot S \cdot g}}, \text{ Тл,} \quad (2.14)$$

де р площа зусилля електромагніту, Н; 5 прискорення перерізу полюсів, ММ; вільного падіння, М/с².

Зміна струму в котушці індуктивності описується наступним рівнянням:

де Е-напруга опір часу обмотки котушки, с.

$$I(t) = \frac{E}{r} \cdot (1 - \exp(-\frac{t}{T})), \quad (2.15)$$

Очевидно, що електромагніт матиме вигляд

НУБІП України

НУБІП України

$$t_{cp} = \tau \cdot \ln \left(\frac{1}{1 - \frac{I_{cp}}{I_{\text{пос}}}} \right)$$

де I_1 - сила струму на режимі роботи, що встановився, А; I_2 - сила струму на режимі роботи, що встановився, А. Підставивши у формулу 2.3 отримані рівняння отримаємо формулу

$$\begin{cases} t_{cp} = t_c + t_2 \\ I_1 = D \frac{dI}{dt} \left(\frac{1}{J_{\text{пос}}} + \frac{2 \times h_{\text{лан}} \times M_{\text{лан}}}{P_1 \times S_1 + P_2 \times S_2 + F_{\text{пруж}} + C_{\text{пруж}} \times h_{\text{лан}}} \right) + \frac{2 \times h_{\text{лан}} \times M_{\text{лан}}}{P_1 \times S_1 + P_2 \times S_2 + F_{\text{пруж}} + C_{\text{пруж}} \times h_{\text{лан}}} ; \\ t_2 = t_{\text{пос}} + \frac{2 \times h_{\text{лан}} \times M_{\text{лан}}}{P_1 \times S_1 - P_2 \times S_2 - F_{\text{пруж}} + C_{\text{пруж}} \times h_{\text{лан}}} + \frac{2 \times h_{\text{лан}} \times M_{\text{лан}}}{P_1 \times S_1 - P_2 \times S_2 - F_{\text{пруж}} - C_{\text{пруж}} \times h_{\text{лан}}} . \end{cases}$$

де D - сила струму на часу спрацювання електромагніту, А; t_c - час спрацювання електромагніту, А; $t_{\text{пос}}$ - час спрацювання електромагніту, А; $M_{\text{лан}}$ - сумарна маса голки розпилювача (зі штангою і 1/3 пружини розпилювача), кг; J - момент інерції голки розпилювача, кг·м²; S_1 і S_2 - площа перерізу поперечного сечення голки розпилювача, м²; $F_{\text{пруж}}$ - сила пружини розпилювача, Н; $C_{\text{пруж}}$ - жорсткість пружини розпилювача, Н/м; $h_{\text{лан}}$ - висота клапана, м; t - час, сек.; t - час, сек.

M , - сумарна маса голки розпилювача (зі штангою і 1/3 пружини розпилювача), кг; J - момент інерції голки розпилювача, кг·м²; S - площа перерізу поперечного сечення голки розпилювача, м²; F - сила пружини розпилювача, Н; C - жорсткість пружини розпилювача, Н/м; h - висота клапана, м; t - час, сек.

Перехідний процес від розпилювача до каналу клапана, якоря, відбувається за формулою:

$$t_{cp} = \tau \cdot \ln \left(\frac{1}{1 - \frac{I_{cp}}{I_{\text{пос}}}} \right)$$

де I_1 - сила струму на режимі роботи, що встановився, А; I_2 - сила струму на режимі роботи, що встановився, А. Підставивши у формулу 2.3 отримані рівняння отримаємо формулу

$$\begin{cases} t_{cp} = t_c + t_2 \\ I_1 = D \frac{dI}{dt} \left(\frac{1}{J_{\text{пос}}} + \frac{2 \times h_{\text{лан}} \times M_{\text{лан}}}{P_1 \times S_1 + P_2 \times S_2 + F_{\text{пруж}} + C_{\text{пруж}} \times h_{\text{лан}}} \right) + \frac{2 \times h_{\text{лан}} \times M_{\text{лан}}}{P_1 \times S_1 + P_2 \times S_2 + F_{\text{пруж}} + C_{\text{пруж}} \times h_{\text{лан}}} ; \\ t_2 = t_{\text{пос}} + \frac{2 \times h_{\text{лан}} \times M_{\text{лан}}}{P_1 \times S_1 - P_2 \times S_2 - F_{\text{пруж}} + C_{\text{пруж}} \times h_{\text{лан}}} + \frac{2 \times h_{\text{лан}} \times M_{\text{лан}}}{P_1 \times S_1 - P_2 \times S_2 - F_{\text{пруж}} - C_{\text{пруж}} \times h_{\text{лан}}} . \end{cases}$$

Перевірка адекватності математичної моделі проводилася за критерієм Фішера.

Дисперсійне співвідношення знаходиться за формулою:

$$F_p = \frac{S_{\text{ад}}^2}{S_{\text{експ}}^2}$$

(2.18)

НУБІП України

5 „- дисперсія адекватності, що характеризує відхилення математичної моделі від реального процесу;

8 - Дисперсія відтворюваності, що характеризує помилку проведення експерименту.

Дисперсія адекватності визначається за такою формулою:

8. ϵ_B

де \bar{y}_7 - значення функції відгуку, отримані з математичної моделі;

у - значення функції відгуку, отримані в ході експерименту;
М № - число дослідів у матриці планування;
п-число значних коефіцієнтів математичної моделі,

Дисперсія відтворюваності визначається за такою формулою:

$2P-P \bar{y}_7/(t-1), (2.20)$

де \bar{y}_7 - поточне значення функції відгуку у паралельному досвіді на вибраному рівні фактора; P - середнє значення функції відгуку обраному рівні фактора; t -число паралельних дослідів.

Розрахункове значення критерію Фішера порівнюють із табличним значенням при вибраному рівні значущості та числі ступенів свободи.

амі дат 1. (2.21)

У разі співвідношення $P < P_1$, рівняння адекватності може бути використане для моделювання досліджуваного процесу.

У нашому випадку як \bar{y}_7 - поточного, \bar{y}_U - середнього і

у - експериментального значень функції відгуку є значення поточного, середнього та експериментального часу впорскування (1) тк.

кількість дослідів значим при кожному тиску у моделі дорівнює п'яти; $i = 1$ тк. значим коефіцієнтом у моделі ϵ тільки ру

225 т.к. загальна кількість дослідів дорівнює 25.

НУБІП України

НУБІЙ Україні

2.4 Розрахункові дослідження щодо визначення допускових відхилень пролажительності керуючого імпульсу при різних режимах роботи ЕГФ типу Common Rail фірми Bosch.

З використанням математичної моделі для відремонтованої по запропонованої технології ремонту ЕГФ фірми Bosch (модель 0445110273) знайдено допускові відхилення тривалості керуючого імпульсу при різних режимах роботи.

Необхідні дані для визначення допускових відхилень продовжуючи керуючого імпульсу ЕГФ фірми Bosch моделі 0445110273 по запропонованої математичній моделі показано у таблиці 2.1.

Таблиця 2.1

Параметри ЕГФ фірми Bosch моделі 0445110273

№ п.п.	Найменування параметра	Значення параметрів
1	Параметри електромагнітного вузла: Попередня затяжка пружини якоря з дозатором, Н	150
2	Жорсткість зусилля пружини якоря, Н/мм	150
3	Напруга імпульсу: напруга форсуючого імпульсу, напруга утримуючого імпульсу, напруга розмагнічуючого імпульсу,	24-150+12-12 240
4	Максимальне зусилля електроприводу, Н	0,3 0,8 0,5
5.5.1	Повітряний зазор між якорем та сердечником у притягнутому стані, мм у відпущеному, мм максимальний хід якоря, мм	0,05
5.25.3	Хід якоря електромагніту, мм	5,53
6	Сумарна маса якоря (якор та 1/3 пружини)	Електротехнічна сталь

6	клапана), г Матеріал якоря та сердечника	1,9625
7	Площа поперечного перерізу голки роздилювача, мм^2	
8	Параметри голки роздилювача:	150
	Попередня затяжка пружини голки роздилювача, Н	150
1	Жорсткість зусилля пружини голки роздилювача, Н/мм	0,03
2		2,096
3	Хід голки роздилювача, мм	3,36

Підставляючи дані з таблиці 2.4, у формулу 2.17 отримаємо допускові

відхилення за тривадистю керуючого імпульсу при різних режимах роботи ЕГФ фірми Bosch моделі 0445110190. На режимі VL (повною загрузкою) по цикловій нодачі становитиме 34 мм Ецикл, $D_{\text{ir}} = +180 \text{ мкс}$; на режимі ВМ (часткове навантаження) Авшя = +2,2 ми?/цикл, Аві = +100 мкс; на режимі ГЛ, (холостий

хід) Авши = +1,6 \$ ммацикл, Ми = +75 мкс; на режимі УЄ (Попереднє впорскування) Абя = 0,7 ми?/цикл, Світ = +32 мкс.

На малюнку 2.9 представлена результати чисельних дослідження з визначення розподілу донуекових відхилень тривалості керуючого імпульсу при різних

режимах роботи ЕГФ фірми Bosch моделі 0445110190. Штриховими лініями показана зона регулювання тривалості керуючого сигналу 1на Вью на різних

режимах роботи форсунки.

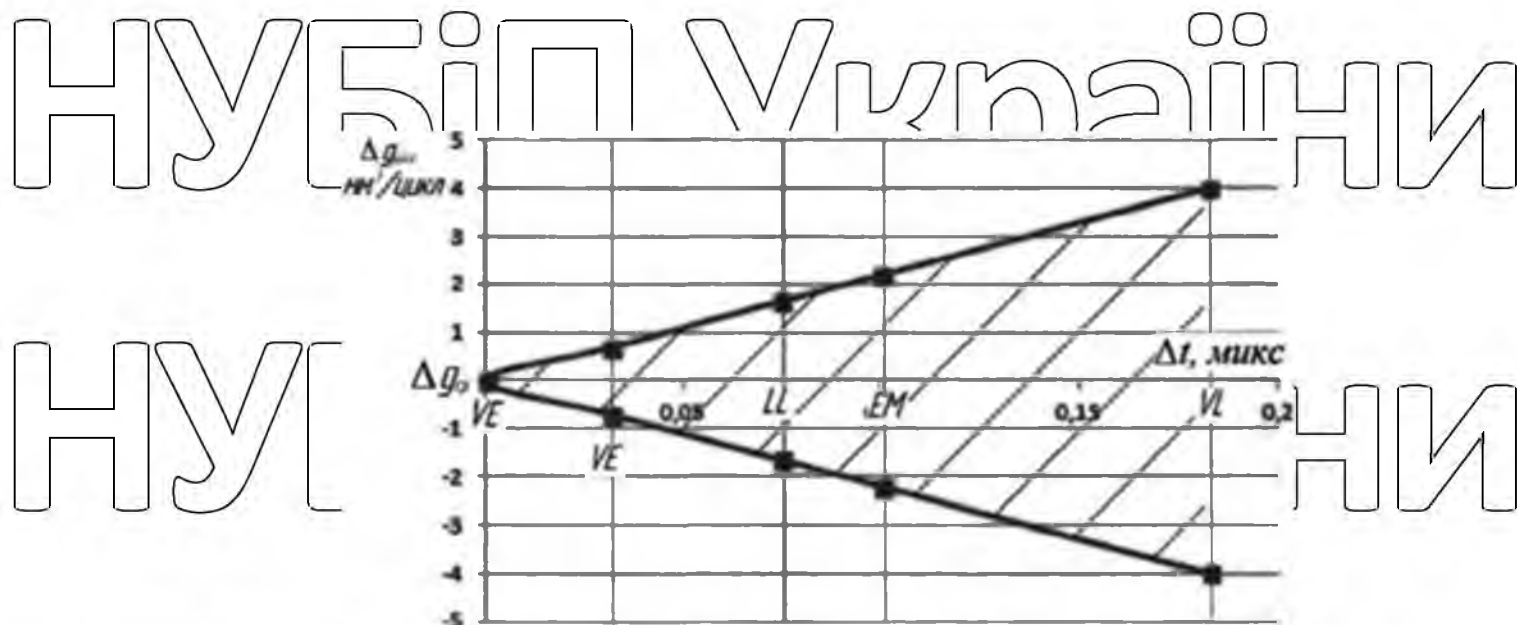


Рисунок 2.6 - Зона регулювання тривалості керуючого сигналу для Зоя для

ЕГФ Воззі моделі 0445 10190

Розроблена математична модель процесу роботи ЕГФ типу СР, з урахуванням залежності тривалості керуючого імпульсу від конструктивно-регулювальних параметрів форсунки, дозволила отримати допускні параметри за тривалістю керуючого сигналу в залежності від режимів роботи для післяремонтної ЕГФ фірми Bosch.

2.5 Розробка дистанційного індикатора для вимірювання малих переміщень при регулюванні паливної апаратури дизелів.

У процесі регулювання ТА виникає потреба у вимірюванні, наприклад, ходу якоря ЕГФ типу СР, ходу коректора ГНВТ та ін., що вимірюються з точністю до сотих часток міліметра. На даний момент для вимірювання малих переміщень при регулюванні ТА дизелів використовують механічні годинникові індикатори. Цей спосіб вимірювання має ряд недоліків, таких як висока похибка вимірювання, незручність монтажу та інших. У зв'язку з цим ставати актуальним є розробка

дистанційного вимірювача малих переміщень.
Рішенням цього може бути дистанційний індикатор для вимірювання малих переміщень, що базується на принципі лазерного вимірювача.

Дистанційний індикатор для вимірювання малих переміщень у важкодоступних місцях при регулюванні паливної апаратури дизелів, що містить процесор, рідкокристалічний індикатор та вимірювальну частину, включаючи датчик з лінзами і джерелом світла, що відрізняється тим, що з метою

НУБІП України

зимірювання переміщень у важкодоступних місцях з вимірювальною частиною індикатора виконана у вигляді компактної головки з гнучкою ніжкою.

Дистанційний індикатор складається із процесора | (рис. 2.7), рідкокристалічного індикатора (РКІ) 6 і вимірювальної частини ② що включає в себе датчик 3 з лінзами 5 та джерелом світла 4, виконаної у вигляді компактної головки з гнучкою ніжкою, що дозволяє проводити вимірювання у важкодоступних місцях під час ремонту ТА.

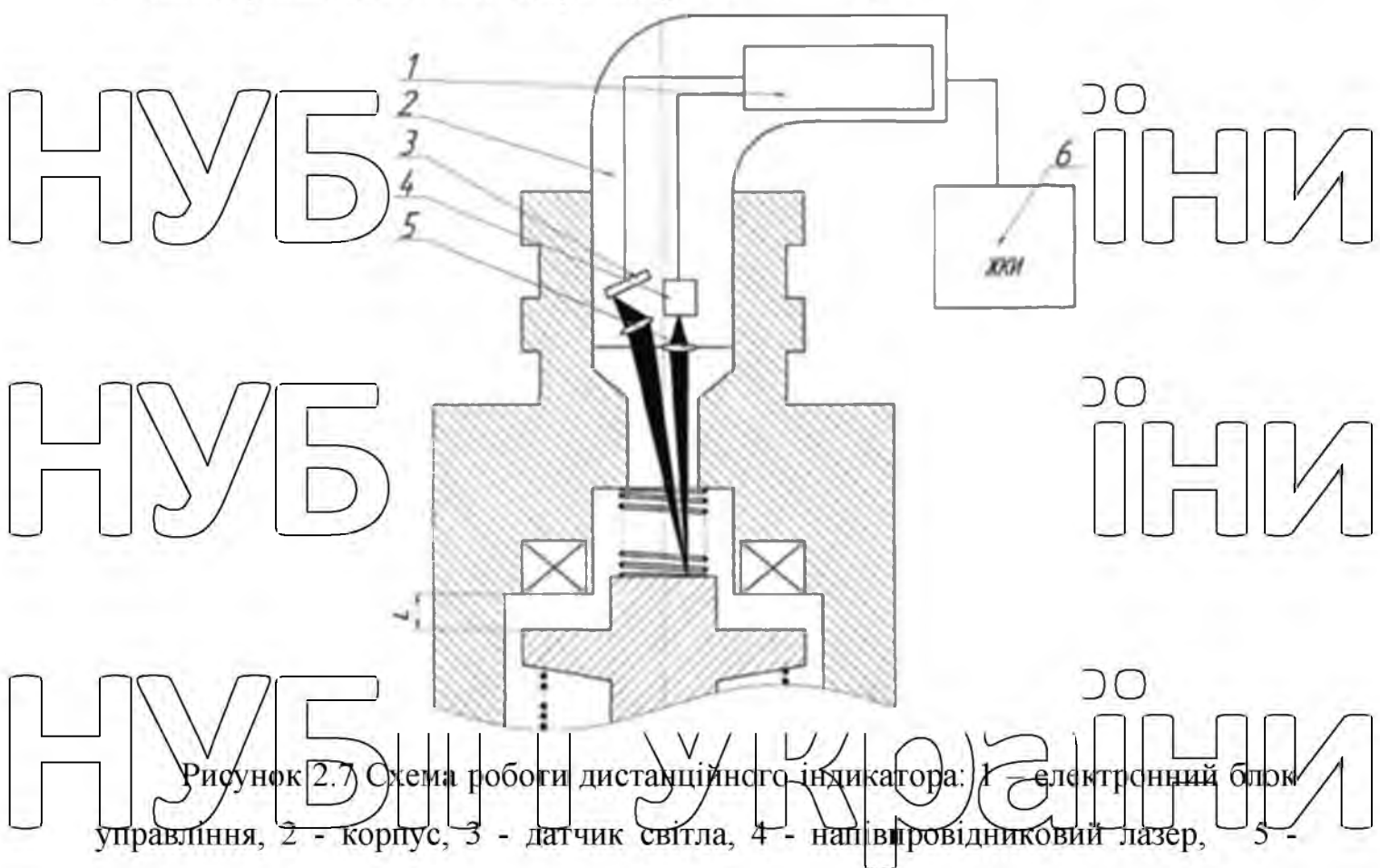


Рисунок 2.7 Схема роботи дистанційного індикатора: 1 - електронний блок управління, 2 - корпус, 3 - датчик світла, 4 - напівпровідниковий лазер, 5 - об'ективи, б-рідкокристалічний індикатор, 1 - вимірюваний хід якоря.

Принцип роботи такого індикатора заснований на вимірі кута між променем, що випускається лазерним діодом 4 і променем, відбитим від об'єкта. Дистанційний індикатор має ряд переваг: безконтактне збирання інформації про величину переміщень, висока точність вимірювання (до сотих часток міліметра), великий термін служби, мале споживання енергії, можливість роботи в жорстких умовах експлуатації за наявності забруднень, вібрацій, електромагнітних перешкод, запиленості та вологості.

НУБІП України

Даний пристрій універсальний, його можна використовувати не тільки при регулювання ТА дизелів, але і для вимірювання малих переміщень в інших областях діяльності.

НУБІП України

Таким чином, дистанційний індикатор для вимірювання малих переміщень при регулюванні ТА дизелів ефективніший, ніж його попередник механічний часовий індикатор.

2.6 Висновки з 2 розділу.

Розроблено інформаційну модель забезпечення працездатності ЕГФ типу

СР, що пояснює основи індивідуального електронного коригування параметрів паливоподачі та забезпечує за рахунок цього суттєве розширення періоду між ТО, а також ремонтом.

Перспективи підвищення надійності ТПА пов'язані із застосуванням технології індивідуального коригування параметрів ЕГФ при ТО. В цілому, показники надійності та стабільності параметрів БХУТ можуть бути покращені за рахунок комплексного підходу, т.е. спільно за допомогою механічної та електронної регулювання шляхом збільшення періоду безвідмовної роботи ЕГФ типу СР.

Розроблено математичну модель процесу роботи ЕГФ, встановлювальна залежність тривалості керуючого імпульсу від конструктивно-регулювальних параметрів ЕГФ. Перевірка адекватності моделі за критерієм Фішера показала позитивну збіжність за рівня значимості 95%.

З використанням математичної моделі для відремонтованої по запропонованої технології ремонту ЕГФ фірми Bosch (модель 0445110273) визначені допускові відхилення тривалості керуючого імпульсу при різних режимах роботи.

Розроблено методику регулювання відремонтованої ЕГФ типу СР замінами базових характеристик управління паливоподачею, що забезпечує розширення допусків до контрольних та складальних параметрів форсунки. У частності для ЕГФ фірми Bosch теоретично визначені та експериментально підтверджено допуски на режимі VI по цикловій подачі становить $A_{Vi} = +4 \text{ мм/цикл}$, $L_t = +180 \text{ мкс}$; на режимі ЕМ Айо, $i_{sh} = +2,2 \text{ мм/шик}$, $A_{pr} = +100 \text{ мкс}$, на режимі ГЛ. $A_{Vi_k} = 1,65 \text{ мм/цикл}$, $A_r + p = 75 \text{ мкс}$; на режимі УС Гру = 40,7 $\text{мм}^2/\text{шик}$, $A_{sh} =$

НУБІП Україн^и

+32 мкс.

Розроблено

дистанційний індикатор для вимірювання малих переміщень ТА, який дозволяє збільшити точність і якість регулювально-настроювальних робіт.

НУБІП Україн^и

НУБІП Україн^и

НУБІП Україн^и

НУБІП Україн^и

НУБІП Україн^и

НУБІП Україн^и

НУБІП Український

РОЗДІЛ 3 МЕТОДИКА ПРОВЕДЕННЯ ЕКСПЕРИМЕНТІВ

3.1 Загальна методика експерименту

Метою проведення досліджень стала перевірка результатів теоретичних досліджень, практичне вивчення закономірностей процесів, що відбуваються в ЕГФ типу CR, встановлення факторів, найбільш суттєво впливають на його роботу і для знаходження допускових відхилень при зміні БХУТ.

3.2 Обладнання та апаратура досліджень.

Для уточнення отриманих експериментальних досліджень безмоторні випробування проводилися за ГОСТ 8670-82 та 150 9002 згідно з тест-планами з використуванням спецалізованого стенду для регулювання та випробувань дизельної ТА ЕР 815 з безмензурочною електронною вимірювальною системою КМА 802 фірми Bosch з комплектом дооснащення СЕТ для випробування ЕГФ типу CR.

Стенд має можливість регулювати температуру технологічної рідини на вході до ПНВТ за рахунок водяного охолодження. Після відповідного доукомплектування стенд дозволяє проводити регулювально-настроювальні роботи всього спектру різноманіття ПНВТ, вироблених фірмою Bosch, а також деяких насосів інших виробників. Характеристики стенду приведені у таблиці 3.1.



Рисунок 3.1 Загальний вигляд стенда ЕРЗ 815 з безмензурочною електронною вимірювальною системою КМА 802 та до оснащений для CR: вимірювальна система КМА 802;

НУБІП України

форсунки;
дооснащення;
ПНВТ;

НУБІП України

Характеристика контрольно-випробувального стенда EPS 815 з
вимірювань системою КМА 802

Таблиця 3.1

№п/п	Характеристика	Величина
1	Електропотреблення EPS 815	~230В/50..60Гц/3А
2	Електромагнітна сумісність (ЕМУ)	виріб класу А ЄС 55 022
3	Потужність ел. двигуна, кВт/при номінальній частоті обертання валу приводу, хв ⁻¹	10,2/580
4	Діапазон частоти обертання приводу, хв ⁻¹	0...5000
5	Момент інерції маховика приводу Kr*Mz	1,5
6	Точність вимірювання частоти обертання, хв ⁻¹	±0,4
7	Місткість паливного бака, л	50
8	Індикація	аналого-цифрова індикація у вигляді стовпчикових діаграм; світлення допусків розкиду, цвіт-тє маркування перевищенні
9	Самодіагностична	повідомлення про несправності
10	Межі вимірювань манометрів стенду, Мпа - низького тиску; - високого тиску; - вакуумного або вимірювання тиску палива всередині ПНВТ; - Для вимірювання тиску подачі.	0...0,60+0,005 0...6,00+0,5 -0,0...0,2510,0125 0...1,6010,025

НУБІЙ Український

11	Максимальна кількість секцій ТНВД, що обслуговуються.	12
13	Продуктивність живильного насоса (високий тиск), л/хв (МПа)	0...140(0...6,00)
12	Продуктивність живильного насоса (низький тиск), л/хв (МПа)	0...22(0...0,60)
14	Тип вимірюванальної системи КМА 802	відкрита безінерційна система
15	Точність налаштування кута початку подачі, град	0,1°
16	Межі вимірювання циклової подачі, мм ² /цикл (л/год)	0,2...3000,0 (0,03...30,00)
17	Точність вимірювання циклової подачі, %	0,03...0,10 л/год ± 5 0,10...1,00 л/год ± 2 1,00...30,00 л/год ± 1
18	Вимірювання витрати переливу, л/год	15...400
19	Діапазон регулювання температури, °C	30...60°C
20	Діапазон вимірювання температури, °C	-40...150°C
21	Максимально допустима температура навколишнього середовища, °C	45
22	Точність вимірювання температури (°C): КТ 4 (серійно); РТ 1000 (опція)	4010,4/8011,2 4010,4 / 8010,5
	Електронна система замість вимірювальних мензурок працює з моделем обслуговування КМА 802 а також з розрахунковим та екранним модулями. Всі 3	

модуля об'єднані в єдиний блок 6 (мал. 3.4), що встановлюється на випробувальному стенді EPS 815.

Регулюючий поршень приєднується паралельно до входу та виходу шестерні підкачувального насоса. Якщо продуктивність насоса одинакова з величиною циклової подачі технологічної рідини через стендові форсунки

НУБІ **України**
поршень знаходиться в середньому положенні. Всі рдиці течуть більше, поршень здвигається вліво, а якщо менше - вправо.

У випробувальному стенді є два вимірювальні осередки. Комп'ютер з'єднує по черзі всі секції ПНВТ, що перевіряються, у двох групах з цими вимірювальними осередками.

Стенд EPS 708 дозволяє діагностувати форсунки та ПНВГ систем CR виробництва Bosch, Siemens, Denso (мал. 3.2). Для компонентів Bosch можлива гарантійна експертиза. Стенд оснащений будовою системою охолодження, завдяки якій значно скорочується витрати води в автосервісі. В якості опції доступна також звичайне водяне охолодження. Також стенд має електронну вимірювальну систему кількості топні, що впорскується та систему електронного регулювання тиску на вході в ПНВТ. Робоча область випробувального стенді закрита міцним екраном, що забезпечує безпекість оператора.



Рисунок 3.2 Загальний вид стенду EPS 708 з безмензурочної

електронною вимірювальною системою КМА 802

Характеристики контрольно-виробовувального стенді EPS 708 з вимірювальною системою КМА 802

Таблиця 3.2

№п/н	Характеристика	Величина
1	Електроживлення EPS 708	~ 230 В/50..60 Гц/3 А
2	Електромагнітна сумісність (ЕМУ)	виріб класу А ЄС 55 022
3	Потужність ел. двигуна, кВт	8
4	Перевірені параметри для CR/CRIN	-Перевірка на герметичність -Зворотний слив

НУБІП Україні

Інтервальне
упорскування

- Холостий хід
- Повне навантаження
- Еко-режим
- Код IMA

5	Максимальний тиск в акумуляторній рейці, МПа	250
6	Місткість паливного бака, л	50
7	Система охолодження	Інтегрована
8	Індикація	аналого-цифрова індикація у вигляді стовпчикових діаграм; освітлення допусків розкиду, цвіт-тє маркування перевищення
9	Самодіагностика	повідомлення про несправності
10	Межі вимірювань манометрів стенду, МПа - Низький тиск; - високого тиску; -вакуумного або вимірювання тиску палива всередині ПНВТ, - для вимірювання тиску подачі	0...0,60±0,005 0...6,00±0,5 0,10...0,25±0,0125 0...1,60±0,025
11	Максимальна кількість обслуговуваних ЕГФ	6
13	Продуктивність живильного насоса (високий тиск), л/хв (МПа)	0...140(0...6,00)
12	Продуктивність живильного насоса (низький тиск), л/хв (МПа)	0...22(0...0,60)
14	Тип вимірювальної системи КМА 802	відкрита безінерційна система
15	Точність налаштування кута початку подачі, град	0,1°
16	Межі вимірювання циклової подачі, ммз/цикл (л/год)	0,2...3000,0 (0,03...30,00)
17	Точність вимірювання циклової подачі, %	0,03...0,10 л/год ±5 0,10...1,00 л/год ±2 1,00...30,00 л/год ±1
18	Вимірювання витрати переливу, л/год	15...400
19	Діапазон регулювання температури, °C	30...60°C
20	Діапазон вимірювання температури, °C	-40...150°C
21	Максимально допустима температура навколошнього середовища, °C	45
22	Вимірювання витрати переливу, л/год	40±0,4/80±1,2 40±0,4

НУБІ Україні

80+0,5

Застосування на стендах фірми Bosch EPS 815 та EPS 708 безмензурочної

електронної вимірювальної системи КМА 802 дозволяє виключити погрішності осадження палива та зливу, градуювання мірних смкостей при вимірюванні циклової подачі, візуального читування рівня палива, а також виключити вплив на процес вимірювання суб'єктивного людського фактора. Схема електронного вимірювання величини подачі палива системою КМА 802 показано на малюнку 3.3.

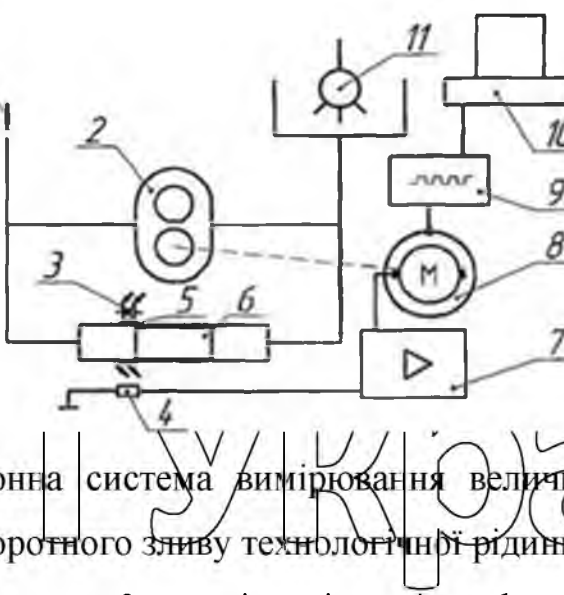


Рисунок 3.3 Електронна система вимірювання величини подачі палива КМА 802: 1 - магістраль зворотного зливу технологічної рідини в бак; 2 -

шестерний підкачуючий насос; 3 - світлодіод; 4 - фотоелемент; 5 - вікно світловода; 6 - регулюючий поршень; 7 - блок управління; 8 - електродвигун; 9 - лічильник імпульсів; 10 - персональний комп'ютер; 11 - стендова форсунка.

Використання електронної вимірювальної системи дозволяє виключити вплив температури палива на процес вимірювання циклової подачі. Дані електронна вимірювальна система має також і ряд інших переваг, таких як:

- Швидкість вимірювання і висока точність циклової подачі (одиниці вимірювання циклової подачі см/1000 циклів при цьому не змінюються);

- наочне подання результатів вимірювань у цифровому та графічному вигляді;

Роздрукування протоколу випробувань.

Також експериментальні дослідження були проведені на стендах призначених для експрес-діагностики форсунок типу CR, такі як EPS 200, Hartridge IFT - 7 і Башдизель ВТС - 201 (мал. 3.3),

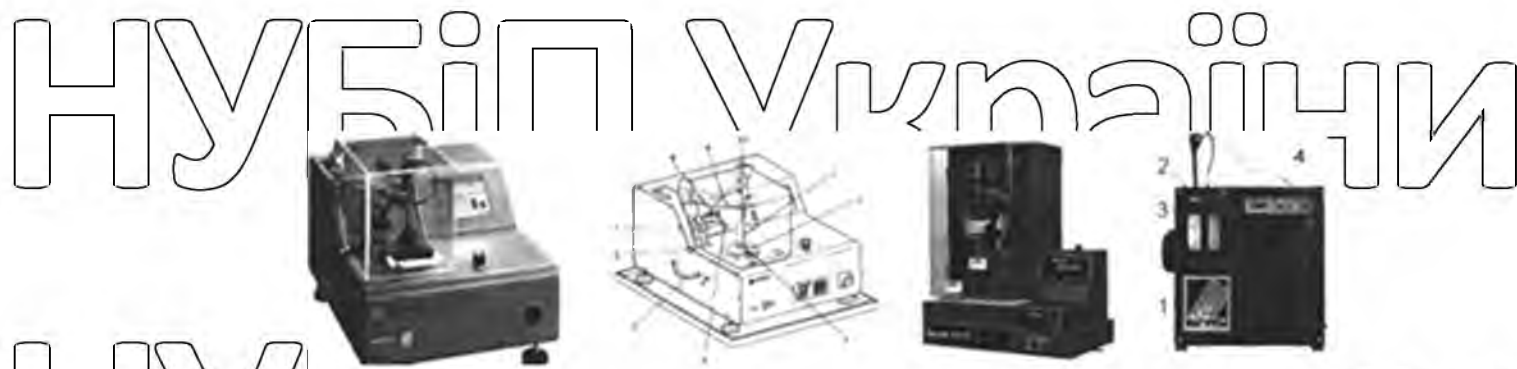


Рисунок 3.4 Перевірочні стенди для діагностики форсунок типу CR:
Загальний вигляд (а) та компоненти пристрою для проведення перевірки

форсунок CR Bosch EPS 200 (6): 1 - форсунка системи СВ, 2 - камера для струменя, 3 - камера впорскування, 4 - натяжний болт для кріплення форсунки, 5 - промивний відвід, 6 - натяжний болт для регулювання по висоті кріплення, 7 - кріплення, 8 - панель для підключення компонентів, 9 - сполучна магістраль високого тиску для подачі перевірчної олії, 10 - адаптер для підключення форсунки системи CR; в - Hartridge IFT 70;

г- Башдизель ВТС – 203.

Стенд EPS200 (рис. 3.4) містить такі компоненти як: насос та блок, мікропроцесор і рідкокристалічний дисплей з сенсорним екраном. На даному стенді проводяться випробування на герметичність при повній навантаженні, на холостому режимі можна вимірюти кількість впорскуваного палива та кількість зворотного зливу. Вимірювані параметри:

1. копостий
2. Повне
3. зворотне

1. к.д. (навантаження)
скидання.

Hartridge ITF - 70 (рисунок 3.4) розроблений для початкової діагностики ЕГФ як у невеликих майстернях, так і спеціалізованих дизельних центрах. ITF-70 дозволяє просто і швидко протестувати ЕГФ типу CR. Представлені собою економічно ефективне рішення для поопередньої діагностики ТПС типу CR, цей модульний стенд може бути дообладнаний для тестування звичайних механічних форсунок та розпилювачів насос-форсунок (EUI). Базова комплектація ITF- 70 включає блок управління ITF - с, і дозволяє тестувати всі типи форсунок CR, при тиску до 70 МПа (таблиця 3.3).

Таблиця 3.3

Технічні характеристики перевірочних стендів

№
п.п.

Параметри

Hartridge IFT-
70 EPS 200
Башдизель
ВТС 201 CR

Показники

Hartridge IFT-
70 EPS 200
Башдизель
ВТС 201 CR

1

Габаритные размеры, мм

780x620x890
580

580x560x780

460x540x720

2

Напряжение питания, В

220 - 230

220-380

380

3

Диапазон
регулирование давления,
МПа

0-70

0-180

0-160

4

Рабочий интервал сигна-
ла открытия форсунки,

100 – 3000

100-3000

150-3000

5

МКС

1

1

1

6

Одновременная проверка
количество

Мензурочное

Безмензурочное

Мензурочное

форсунок, шт.

Розроблений у Башкирському ГАУ науково-виробничу фірмою Башдизель
стенд ВТС- 203 (мад. 3.4, г) для випробування компонентів паливних систем СР
дозволяє відтворити будь-який тиск на вході у форсунку до 160 МПа, перевірити
нідроцільність елементів системи паливонадачі, виміряти продуктивність
форсунки шляхом подачі програмованих користувачем сигналів керування
форсунками для перевірки їх працездатності візуально, (Форма та інтенсивність
розпилю, об'ємна продуктивність).

Стенд ВТС - 201 має блочно - модульну конструкцію (рис. 3.7, г) та
складається з блоку високого тиску 1 з приймальним пристроям 2 вимірювальної
системою 3, зібраного на рамі стенду та блоку управління 4, здійснює контроль та
керування робочими параметрами стенду (відображення режиму роботи, значення
тиску в системі, а також завдання керуючих сигналів при випробуванні
електронних компонентів.

На передній панелі стендза розташовані кнопки включення паливного насоса
низького тиску (підкачування) та силового приводу. На передній панелі
контролери знаходяться: рідкокристалічний індикатор, кнопки управління,
світлодіодний індикатор. На задній панелі стендза знаходяться з'єднувальні кабелі,
в тому числі і "МЕРЕЖА" для підключення мережевого живлення -380 В. У
таблиці 3.3 показано основні технічні характеристики перевірочних стендів.

НУБІП України
Для спостереження об'ємних об'єктів із збереженням стереоefекту
(контроль якості складання) і для ручних робіт над дрібними деталями був використаний мікроскоп МБС-9 (рис. 3.5).



Рисунок 3.5 Загальний вигляд мікроскопа МБС-9
Джерелом світла є галогенна лампа 8Вт 20Вт. Технічні характеристики мікроскопа МБС -9 представлені в таблиці 3.4.

Таблиця 3.4

Технічні характеристики мікроскопа МБС-9

№ п.п.	Параметри	Показники
1	Робочі розміри, мм	200x160x400
2	Живлення від мережі змінного струму,	220
3	маса, кг	5
4	Робоча відстань об'ективів, мм	190
5	Діапазон змінних збільшення, крат	от 1,2 до 100
6	Поле зору окулярів, мм	8-19

Як відомо, одним із важливих показників якості відновленої поверхності є твердість. Вимірювання твердості запірного клапана ЕГФ типу СР мною вироблялося кілька стапів. Насамперед визначалася загальна твердість відновленої поверхні після притирання всіх зразків.



Рисунок 3.6 Загальний вигляд: а) твердоміра Віккерса (моделі ТП-7р-1; б) мікротвердоміра ПМТ-3

Найбільш важливим етапом оцінки твердості отриманих покриттів, був вимірювання розподілу мікротвердості за глибиною зразка. Вимірювання виробляється здавшованням алмазного накінечника за ГОСТ 9450 - 76. Для реалізації досліду застосовувався мікротвердомір ПМТ - 3, загальний вигляд якого показано на малюнку 3.6. При цьому навантаження на алмазну піраміду при вимірюваннях становила 0,981Н (100). Для зручності усі отримані дані за величинами твердості та мікротвердості по можливості перекладалися на значення твердості за шкалою НВС. Методика визначення мікроструктури запірного клапана ЕГФ типу CR фірми Bosch.

Для візуальної оцінки якості відновленої поверхні необхідно провести мікроскопічний аналіз одержаної поверхні. Вивчення мікроструктури виробляли за методикою, описаною в літературі, по фотографіям, отриманим на мікротвердомірі ПМТ - 3, застосовуючи при цьому фотонасадку МФН - 12 і фотоапарат "Olympus E-420". Для швидкості та зручності отримання мікрошлифів нами було виготовлено спеціальну оправку. Отримані таким чином шліфи заливались епоксидною смолою в спеціальні кільце, шліфувалися, а потім зберігались в 4-6% розчині азотної кислоти в етиловому спирті.

НУБІП України

3.3 Експериментальні установки та датчики.

Параметри паливоподачі при дослідженні оцінювалися використанням комп'ютера, аналого-цифрових перетворювачів (АЦП) та програмних засобів реєстрації.

Дослідження, пов'язані з визначенням характеристики впливу використанням експериментальної установки, схема якої представлена рисунку 3.7.

Установка включає розроблене на кафедрі «Трактори та автомобили»

НУБІП пристрій для дослідження подачі палива паливоподаючою апаратурою в дизелях, яка дозволяє підвищити точність визнання характеристики подачі палива (патент РФ №2433299).

Експериментальна установка працює так (рис. 3.7) випробувана ЕГФ 5 встановлюється штуцер 4 і затискається болтами. ПНВТ 2 приводний рух електродвигуном 1 постійно нагнітає технологічну рідину в гідроакумулятор 6, в якому за допомогою редукціонного клапана 8 підтримується заданий тиск. Управління клапаном здійснюється широтно-імпульсним модулятором (ШІМ), який входить склад блоку управління (ЕБУ). Контроль за тиском у гідроакумуляторі 6 здійснюється за допомогою приєднаного до нього

універсального бимірника тиску

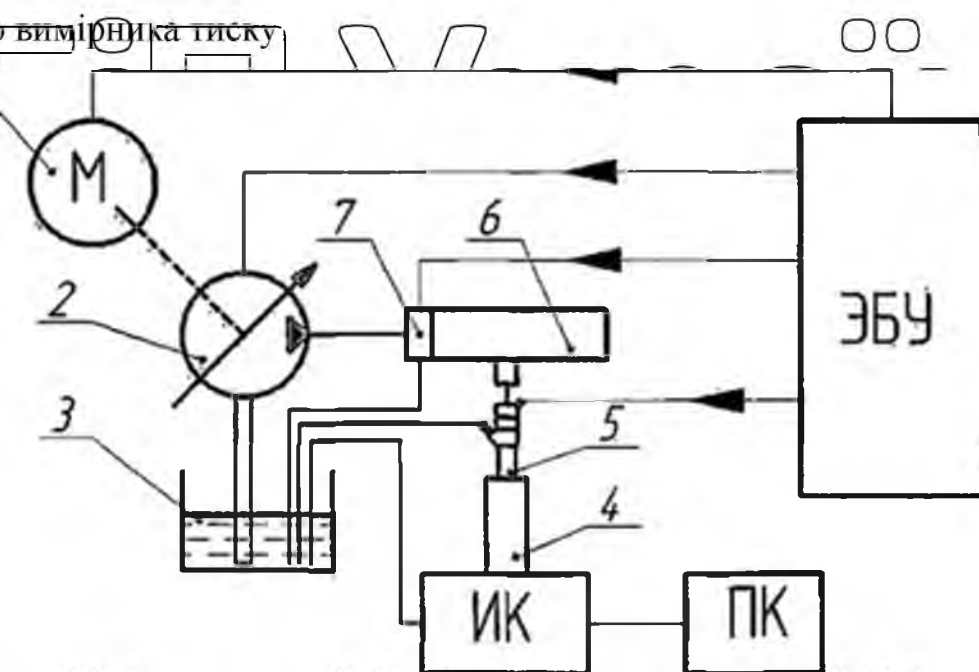


Рисунок 3.7 Схема експериментальної установки: 1 - електродвигун; 2 - ПНВТ; 3 - бак з робочою рідиною; 4 - штуцер; 5 - ЕГФ; 6 - гідроакумулятор; 8

НУБІП України

редукційний клапан; ЕБУ – електронний блок управління; ВК – вимірювальний комплекс; ПК - персональний комп'ютер.

Управління ЕГФ відбувається за допомогою багатофункціонального імітатора сигналів розробки кафедри «Трактори та автомобілі» НУБІП, який може задавати тривалість, форму сигналу і частоту впорскування в залежності від фірми виробника ЕГФ. При подачі з імітатора сигналу імпульса з певною частотою і тривалістю на ЕГФ починається його робочий процес.

Інформаційний вимірювальний комплекс складається з ПК, аналогово-цифрового перетворювача ZET 210 та ряду перетворювачів.

Модуль АЦП ZET 210 призначений для вимірювань параметрів сигналів широкому частотному діапазоні (з частотою дискретизації до 500 кГц), поступаючих з різних первинних перетворювачів. Підключення до ПК та живлення модуля здійснюється за шиною USB 2.0. Управління та збір інформації виробляються безпосередньо за командами з ПК. Основні технічні характеристики АЦП ZET 210 представлені у таблиці 3.5.

Таблиця 3.5

Основні технічні характеристики АЦП ZET 210

Параметр	Значення
Кількість входів	16 синфазних/8 диференціальних
Сумарна частота перетворення по всіх включених каналах, кГц	до 500
Кількість розрядів АЦП	16
Максимальна входна напруга, В	±7
Вхідний опір, кому	2
Динамічний діапазон, дБ	84
Максимальна нерівномірність АЧХ у частотному діапазоні 10 Гц...200 кГц, дБ	1
Захист входів при включенному живленні,	±30
Захист входів при вимкненому живленні,	±30
Міжканальне проникнення, дБ	-72
Вхідна ємність, пФ	20

НУБІП України

Функціональна блок-схема модуля представлена малюнку 3.8 і працює в такий спосіб. Шістнадцятиканальний мультиплексор комутує послідовно всі вибрані канали одного операційного підсилювача, через рівні проміжки часу.

Рисунок 3.8 Функціональна блок-схема модуля ZET 210

Після моменту перемикання каналів, від сигнального процесора надходить команда початку перетворення для АЦП, по закінченні перетворення АЦП піднімає пропор готовності даних перетворення і відбувається переривання в сигнальному процесорі. Сигнальний процесор зберігає дані у внутрішній пам'яті для подальшої передачі контролеру USB.

Вся інформація із модуля ZET 210 стикається в ПК. Спеціальна програма обробки сигналів ResultViewer дозволяє записувати та проводити статичну обробку отриманих даних.

Для проведення експериментальних дослідень юде вибору раціональних режимів відновлення запирного конуса клапана, використовувалась спеціальна оснастка, розроблена на кафедрі «Трактори та автомобоблі» НУБІП (рис. 3.8).

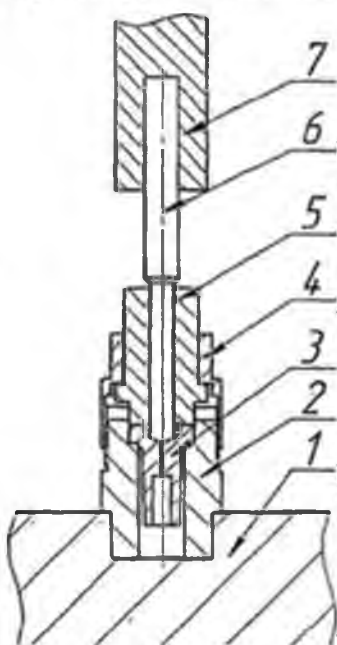


Рисунок 3.8 Оснащення для відновлення запірних клапанів ЕГФ типу CR

фірми Bosch:

1 - завдана плита; 2 - корпус; 3 - сілло клапана ЕГФ; 4 - гайка; 5 - напрямна преславка; 6 - притир; 7 - затискний патрон.

НУБІЙ Україні

Для притирання запірного конуса рекомендовано використовувалося притиральна паста розміром не більше 4 мкм, наприклад, пасту МЗ для притирання плунжерних пар ЗАО «Алтайський завод прецизійних виробів». Цикл відновлення включає періодичний (15-20 разів) притиск (із зусиллям 2-3Н) та відрив притиру при частоті його обертання в межах 2500-2600 хв⁻¹. Потім клапанний вузол промивався в ультразвуковій ванні, продувається стисненим повітрям і за допомогою мікроскопа здійснюється візуальний контроль якості притирання. При виявленні ліній на запірній поверхні цикл притирання повторювався.

Реєстрація миттєвих значень тиску палива в ЛВД проводилася тензометричними перетворювачами МД-10 У ГУ 4212-163-0027459-98 (рис. 3.9). Схема його підключення показана малюнку 3.10, в.

Рисунок 3.9 Загальний вигляд тензометричного датчика серії МД та схема Порожнина, що сприймає тиск палива виготовлена зі сплаву зі вмістом титану 87%. Характеристики тензоперетворювача МД-10 У представлени у таблиці 3.6.

Тензоперетворювач працює наступним чином. Дані тензоперетворювача відповідають ТУ 25-7301-061-89. Під дією тиску вимірюваного середовища сапфірово-титанова мембрана прогинається, тензорезистори змінюють свій опір, що призводить до дизбалансу моста Унтсона, який пропорційний вимірювальному тиску.

Таблиця 3.6

Технічні характеристики тензоперетворювача МД-10 У	
Параметри	Значення
Нелінійність ІЦ, %	±0,2
Варіація ІЦ, %	±0,05
Діапазон вихідного сигналу Ід за +20 С, мВ	100...200
Початкове значення вихідного сигналу за +20 С, мВ	±10
Зміна початкового значення вихідного сигналу від температури, % на 1 °С	±0,05

Зміна діапазону вихідного сигналу від температури % на 1°C	$\pm 0,05$
Діапазон робочих температур, IC	-50...+125
Діапазон вимірюваних тисків, МПа	0...10
Номінальне значення тиску, Мпа	10
Граничне значення тиску, Мпа	20
Опір моста при температурі $+20^{\circ}\text{C}$, ком	$2,5 \pm 0,5$
Напруга живлення, В	4...12

Тарувальні значення тензоперетворювачів, що використовуються, наведено

нижче:

- початкове значення вихідного сигналу, що відповідає нульовому значенню вимірюваного параметра при температурі $20 +5^{\circ}\text{C}$ - 10,25 мВ;
- кінцеве значення вихідного сигналу, що відповідає номінальному значенню вимірюваного параметра при температурі $20 +5^{\circ}\text{C}$ - 137 мВ.

НУБІП України

НУБІП України

НУБІП України

НУБІП України

НУБІП Українські дослідження

РОЗДІЛ 4 РЕЗУЛЬТАТИ ЕКСПЕРИМЕНТАЛЬНИХ ДОСЛІДЖЕНЬ

4.1. Удосконалення технології ремонту ЕГФ типу Common Rail.

Експериментальні дослідження відремонтованої електрогідрравлічної форсунки типу Солтоп Вай фірми Bosch по удосконаленій технології.

Розроблена технологія ремонту ЕГФ типу CR на кафедрі «Трактори та автомобілі» НУБІП були проведені порівняльні дослідження з оцінки ефективності відновлення клапанних пар для ЕГФ фірми Bosh моделі 0445110012 на стендах Bosch EPS 200 и Hartridge CRI-PC.

Основні діагностичні параметри визначали відповідно до тест-планами фірм-виробників (перевірка на холостому ході, при повному навантаженні, режим пуску та перевірка гідроцільності) до, і після ремонту (таблиця 4.1), також для порівняння наведено дані з тестування трьох нових форсунок.

Згідно з даними проведених випробувань витрата палива на управління у всіх трьох дослідних ЕГФ до притирання запирних клапанів при повному навантаженні виходив за допустими межі за тестом плану Bosch. Після відновлення клапанів у всіх форсунок параметри, що діагностуються при тестуванні на стенді EPS 200 увійшли до меж допусків, однак, кількість витрати на управління було більше в середньому на 40%, ніж у нових форсунок. На рисунку 4.1 як прикладом є протокол одного випробування ЕГФ фірми Bosch моделі 0445110012 на стенді Bosch EPS 200 (додаток В).

Випробування проводилися триразово для кожної із трьох форсунок прийнятих для аналізу (три до ремонту, три після ремонту та три нових форсунок). Результати комплексних випробувань представлені в таблиці 4.1.

Дані випробування форсунок фірми Bosch моделі 0445110012 на стенді Bosch EPS 200

Таблиця 4.1

Крок випробування	Тест на пропуски	Повне Холосте навантаження ходу	Режим пуску
Тривалість імпульсу на електромагніт (ЦС)	0	800	675
Тиск у рампі (МПа)	140	135	80

Циклова
подача
мм3/упорскування

По плану
Фактичне

До
ремонта
Після
ремонта
Нова

50.94	4.7±1.6	1.5±1.2
45.62	3.86	0.83
47.84	4.23	0.48
52.03	4.04	0.79
48.81	5.25	1.44
50.47	4.83	1.61
47.62	4.65	1.65
49.88	3.72	2.32
49.25	4.21	2.86
48.86	4.72	3.37

Витрата
управління
мм3/упорскування

По плану

35±35

Не вимірюється

Фактичне

До
ремонта
Після
ремонта
Нова

1	37.47	96.36
2	82.32	208.2
3	20.18	86.58
1	20.35	49.62
2	22.91	51.28
3	21.63	52.36
1	11.00	34.98
2	17.94	37.32
3	37.13	30.55

Для ретельнішої перевірки дані ЕГФ були протестовані на стенді CRI-PC фірми Hartridge. Оскільки цей стенд не акредитований фірмою Bosch для ремонту

ЕГФ, під час випробування використовувалися оригінальні тест-плани фірми Hartridge, які мають жорсткіші допуски щодо кількості витрат на управління (таблиця 4.2). Це підтверджується тим, що при випробуванні нової форсунки під номером 3 також було визначено перевищення допустимих норм кількості витрат на управління. Згідно з цими тест-планами перевірка проводилася на наступних режимах: перевірка зібраної установки на витоки, підготовка форсунки, перевірка гідроцільності, повне навантаження, середнє навантаження, холостий хід, режим пуску. Як приклад наведено протокол випробувань лише одного із семи вказаніх вище режимів - повного навантаження. З таблиці 4.2 видно, що че три відремонтовані форсунки вийшли межі норм за кількістю витрати на управління в середньому на 35%. Хоча показник витрат на управління у ЕГФ після ремонту за тест-планом фірми Hartridge вийшов за допустимі значення, при встановленні на двигун вони справно працювали із забезпеченням ресурсу до 100 тис. км.

Таблиця 4.2

НУБінп Україні

Дані щодо випробування форсунок фірми Bosch моделі 0445110012 на

стенді Hartridge CRI-PC при повному навантаженні.

□ Таблиця 4.3

Дані випробування форсунок фірми Bosch моделі 044510012 на стенді

Hartridge CRI-PC при середньому навантаженні

Тривалість сигналу, цсек	0	0	500								
Температура палива, °C	38	42.0	40.	40.	40.1	40.	39.	38.	40.	40.	40.
Тиск у рампі, бар	790	810	800	800	800	800	800	800	800	800	800
Затримка впорскування, цсек	0	0	339	350	348	325	325	332	302	296	295
Кількість "обертки" мм ³ /упорскуванн	15	31	87.	92.	126.	41.	38.	44.	27.	28.	32.
Температура "обертки", °C	0	0	74.	78.	82.3	46	44.	45.	40.	43.	46.
Тиск "обратки", мбар	0	0	3	4	3	4	3	3	3	3	2
Циклова подача, м ³ /упорскуванн	46	56.9	49.	47.	45.6	46.	45.	48.	50.	50.	50.
Відхилення циклової подачі, мм ³ /упорскуванн	0	0	0.4	0.6	1.2	0.2	2.0	2.5	0.5	0.5	0.5

Таблиця 4.4

Повне навантаження	Мін	Макс	Фактичне			До ремонта			Після ремонта			Нова		
			До ремонта			Після ремонта			Нова			Нова		
			1	2	3	1	2	3	1	2	3	1	2	3
Інтенсивність упорскування, упорскування/хв.	0	0	1000											
Тривалість сигналу, цсек	0	0	675											
Температура палива, °C	38	42.0	40.	40.	40.1	40.	39.	38.	40.	40.	40.			
Тиск у рампі, бар	240	260	241	245	256	250	253	250	254	254	249			
Затримка впорскування, цсек	0	0	339	350	348	325	325	332	302	296	295			
Кількість "обертки"	15	31	87.	92.	126.	41.	38.	44.	27.	28.	32.			

ММ³/упорскуванн
я

Температура
"обертки", °C

Тиск "обрат-ки",
мбар

Циклова подача,
мм³/упорскуванн
я

Відхилення
цикличої подачі,
мм³/упорскуванн
я

0

0

74.

2

78.

1

82.3

3

46.

0

44.

5

45.

7

40.

6

43.

5

46.

5

0

0

3

4

3

4

4

3

3

4

3

3

3

3

3

3

3

3

3

3

46

56.9

49.

2

47

3

45.6

5

46.

5

45.

1

48.

6

50.

9

50.

8

50.

7

0

0

0.4

0.6

1.2

0.2

2.0

2.5

0.5

0.5

0.5

0.5

0.5

0.5

0.5

0.5

0.5

0.5

0.5

0.5

0.5

0.5

0.5

0.5

0.5

0.5

0.5

0.5

0.5

0.5

0.5

0.5

4.2 Дослідження експлуатаційних показників ЕГФ для використання в запропонованій методиці електронної корекції базових характеристик паливоподачею.

Найбільш слабким вузлом у ТПС типу СР є ЕГФ, у якої інвидше інших вузлів порушуються регулювання та БХУТ, які можуть регулюватися з допомогою електронного управління паливоподачею.

Для використання в запропонованій методиці індивідуальної коригування ровки БХУТ ЕГФ при ТО, описаної в другому розділі, були проведені дослідження експлуатаційних показників ЕГФ.

4.3 Дослідження щодо визначення експлуатаційних показників ЕГФ типу СР фірми Denso.

В автотракторних та комбайнів дизелях застосовуються так само паливні системи типу СВ, та інших фірм-виробників, зокрема фірми Репзо. У зв'язку з цим були проведені дослідження з визначення експлуатаційних показників ЕГФ цієї фірми, саме моделі 6С1Q-9K546-АС. Особливість конструкції ЕГФ фірми Репзо моделі 6С1Q-9K546-АС те, що механічна регульювання проводиться тільки за допомогою 3 регульовальних шайб (рис. 4.1).

Основні параметри працездатної форсунки визначали у відповідності тест-планами фірми виробника ЕГФ Denso. Досліджені ЕГФ були протестовано на стенді СВЕ-РС фірми Націаве. Перевірка проводилася на наступні режими: холостий хід, режим пуску, повне навантаження (таблиця 4.4).

НУБІЙ Україні

З таблиці 4.4 видно, що зі збільшенням зусилля пружини на розпилювачі з допомогою регулювальних шайб (рис. 4.1), витрата палива управління і циклова подача зменшується, але це зменшення відбувається неоднаково різних режимах.

Найбільш відчутно проявляється вплив на циклову подачу на режимі холостого ходу: збільшення зіф з 7,7 до 15,0 мм³/цикл (на 87%), менш значуще на режимі повного навантаження: з 33,7 до 43,3 мм³/цикл (на 28%). Витрата управління має зворотну залежність 24% і 36%. Таким чином, дослідження показали, що базові характеристики паливоподачі мають нелінійний вигляд. У цьому найбільш ефективне регулювання характеристик палива можна проводити з допомогою електронної коригування.

З вищепереданих досліджень видно, що можливості електронного регулювання дуже великі: електронною корекцією можна вирішити завдання механічного регулювання параметрів ЕГФ. Зокрема, під час проведення ТО ЕГФ можна не розбирати форсунку для встановлення ремонтного розміру регулювальної шайби, а компенсувати зміну характеристики ЕГФ за рахунок зміни тривалості керуючого імпульсу.

Рисунок 4.1 Схема розташування регулювань ЕГФ фірми Denso. Згідно з

тестом - планом фірми виробника ЕГФ Denso витрата на управління і циклова подача повинні перебувати в межах 20 і 44 мм/цикл відповідності рисунків видно, що цим вимогам задовільняє шайба товщиною від 0,95 – 1 мм.

Таблиця 4.5

Вплив зусилля пружини розпилювача ЕГФ фірми Denso моделі 6C1Q-9K546-AC

на циклову подачу та витрату на управління на різних режимах роботи

Товщи на шайби	Кількість стажу	Режими роботи	Пуск, Р = 25 МПа	Пуск, Р = 50 МПа	Повне навантаження Р = 70 МПа
№1	13	Холостий хід, Р=25МПа	Витрата управління, ЦМГ/ДП	Циклова подача, ІШ/ЦПЕ П	Витрата управління, ішг/щші
№2	12				

	J&З	13	S	18	23	24	34
	Сред.ана ч.	12,7	8	-	1733	23,7	33,7
1,25	№1	14	8	20	21	27	35
	№2	14	7	18	20	26	36
	№3	13	3	20	21	26	36
	Сред.зна чий	13,7	7,7	193	20,7	263	357
	J61	14	8	16	26	25	38
1Д	№2	14	7	17	26	24	37
	J&З	13	S	17	26	24	36
	Сред.	13,7	7,7	16,7	26	243	37
	днач.					00	
1,15	№1	12	11	18	28	26	39
	№2	13	10	17	28	27	38
	J&З	12	10	20	27	26	39
	Сред,	12,3	103	183	27	263	387
	знач.						
	№1	13	12	IS	29	27	38
	J482	13	11	18	29	27 00	40
	J&З	14	12	19	30	28	40
	Сред	13,3	11,7	183	293	273	393
1,05	№1	14	13	19	30	28	41
	№2	14	13	20	30	28	41
	№3	14	12	19	31	28	40
	Сред	14,0	12,7	193	303	28,0 00	407
	знач.						
1	№1	14	13	20	31	30	42
	J62	15	14	20	31	31	42
	№3	14	14	21	31	30	43
	Сред	14	13,7	203	31,0	303	423
	знач.						
0,95	№1	15	15	22	33	32	44
	J&2	16	15	22	32	31 00	43
	№3	16	15	21	32	31	43
	Сред	15,7	15,0	21,7	323	313	433
	знач.						

НУБІП України

НУБІО України

РОЗДІЛ 5 ОЦІНКА ЕКОНОМІЧНОЇ ЕФЕКТИВНОСТІ

У зв'язку з тим, що клапанна пара є одним з найскладніших у виробництві.

тovленні і дорогим за вартістю елементом ЕГФ типу CR, нами було

запропоновано ввести в стандартну технологію фірми Bosch три додаткові операції з відновлення працездатності запірного клапана в умовах спеціального підприємства.

Одним з основних методів вивчення витрат часу є хронометраж. Для оцінки економічної ефективності були проведені експериментальні дослідження хронометражу вдосконаленої технології ремонту ЕГФ типу CR фірми Bosch. Середнє значення часу необхідне для монтажу однієї форсунки склало 35 хв, для ремонту сідла клапана 5 хв.

Таблиця 5.1

Хронометраж ремонту ЕГФ моделі 445110190 за вдосконаленої технології

№ п.п.	Пайменування операції	Час, хв	Форсунка 1	Форсунка 2	Форсунка 3	Форсунка 4	Середнє значення	Обладнення
1	Перевірка на стенді	02:02	00:59	01:10	00:50	01:15	01:15	Hartridge СЕТ-70
2	Розбирання	02:20	03:21	03:45	03:35	03:15	03:15	Набір спеціальних інструментів
3	Дефектування	01:08	00:52	00:41	00:48	00:52	00:52	Мікроскоп МБС-9
4	Миття та очищення	02:49	02:30	02:12	02:20	02:28	02:28	Ультразвукова ванна, щітка
5	Притирання клапана	06:24	04:29	05:49	05:20	05:31	05:31	Пристрій для притирання запірного клапана ЕГФ Bosch, вертикально-свердлуvalьний верстат, паста притирочна

6	Складання	25:47	1831	18:47	1850	2029	М-3
---	-----------	-------	------	-------	------	------	-----

	в т. ч. регулюванн я повітряного зазору	0935	04:10	05:48	0452	06:06	Притирочна плита
--	--	------	-------	-------	------	-------	---------------------

	регулюванн я ходу якоря	04:08	01:40	0159	0156	0226	
--	-------------------------------	-------	-------	------	------	------	--

7	Перевірка на стенді	0220	0150	0135	01:46	0153	Cartridge IFT-70
---	------------------------	------	------	------	-------	------	---------------------

8	Разом	42:50	3232	3359	3329	35:43	
---	-------	-------	------	------	------	-------	--

Результати дослідження були порівняні з хронометражем стандартної

технології ремонту ЕГФ типу CR фірми Bosch, в якій середнє значення часу склало 20 хвилин (таблиця 5.1).

Проведений порівняльний аналіз хронометражу показав, що запропонована нами технологія на 15 хвилин ремонту займає більше часу, ніж стандартна.

Підрахувавши річний обсяг відремонтованих ЕГФ типу CR фірми Bosch на базі НВФ ТОВ «Башдизель» за стандартною технологією склав 1500 форсунок, нова ж технологія є 1,7 раза менша (882). Враховуючи той фактор, що вартість ремонту запропонованої нами технології нижча, було підраховано річний економічний ефект за формулою:

$$E_{\text{нм}} = (ЗП_{\text{баз}} - ЗП_{\text{нов.}}) N_{\text{нов.}} \quad (5.1)$$

де $E_{\text{нм}}$ – економічний ефект удосконаленої технології, грн.;

$ЗП_{\text{баз}}$ – закладається прибуток від ремонту однієї ЕГФ за базовою технологією, грн.,
 $ЗП_{\text{нов}}$ – закладається прибуток від ремонту однієї ЕГФ за вдосконаленою технологією, грн.

$N_{\text{нов.}}$ - річний обсяг виробництва продукції за допомогою вдосконаленої технології, од.

Таблиця 5.2

НУБІЙ Україні

Собівартість ремонту 1 форсунки за допомогою стандартної таудосконаленої технології

№ п.п	Витрати на ремонт	Витрати на ремонт 1 форсунки за допомогою базового варіанта ТЕХНОЛОГІЇ (ЗБАЗ), грн.	Витрати на ремонт 1 форсунки за допомогою вдосконаленої технології (Знову), грн.
1	Замінні деталі, в т.ч.	6110	2110
2	Фторопластова шайба	100	100
3	Кулька сідла клапана	10	10
4	Гайка розпилювача	500	500
5	Розпилювач	1500	1500
6	Сідло клапана зі штоком	4000	4000
7	Виробничі витрати	90	140
8	Накладні витрати	50	50
9	Разом	6250	2300

Підставивши значення таблиці 5.2 у формулу (5.1) отримаємо:

$$E_{\text{нм}} = (2250 - 1750) * 882 = 550000 \text{ грн.}$$

Річний економічний ефект від впровадження удосконаленої технології для підприємства становитиме 550 тис грн..

Таблиця 5.3

Вартість ремонту для споживача з урахуванням терміну служби відремонтованої форсунки.

№ п.п	Показники	Базовий варіант технології ремонту	Удосконалений варіант технології ремонту
1	Собівартість ремонту 1 форсунки, руб.	6250	2300
2	Закладається прибуток з 1 форсунки, руб.	1750	2250

3 Вартість ремонту
1 форсунки для
споживача, руб.

8000

4550

4 Коефіцієнт К, що
враховує термін
служби

1

1

Економічна ефективність для споживача обчислювалася за такою

формулою:

$$E = (C_{\text{баз}}/K_1 - C_{\text{усов}}/K_2) * n \quad (5.2)$$

де Е - економічна ефективність для споживача при ремонті одного комплекту форсунок за новою вдосконаленою технологією в порівнянні з базовою технологією, грн.,

$C_{\text{баз}}$ і $C_{\text{усов}}$ - вартість ремонту 1 форсунки для споживача за базовою та вдосконаленою технологією відповідно, грн.;

K_1 і K_2 - коефіцієнт враховує термін служби відремонтованої форсунки за базовою та вдосконаленою технологією відповідно;

n - кількість форсунок в одному комплекті, штук.

Економічна ефективність результатів досліджень пов'язано з збільшенням терміну відновленого після ремонтного ресурсу до 100%, що враховується коефіцієнтом K_2 .

Підставивши значення з таблиці 5.3 у формулу (5.2) і прийнявши середню кількість форсунок в одному комплекті дорівнює 4, отримаємо:

$$P = (8000/1 - 4550/1) * 4 = 13800 \text{ грн.}$$

Виходячи з цього ми отримуємо, що при ремонті ЕГФ стандартного 4-х циліндрового дизельного двигуна за вдосконаленою технологією споживач буде економити 13800 грн.

НУБІП України

ЗАГАЛЬНІ ВИСНОВКИ ТА РЕКОМЕНДАЦІЇ

1. Перспективним напрямом удосконалення технічного обслуговування та ремонту електрогідравлічних форсунок акумуляторних паливних систем автотракторних та комбайнових дизелів є використання в процесах ТО та Р можливості електронного коригування базових характеристик управління паливоподачею.

2. Розроблено інформаційну модель забезпечення працездатності ЕГФ типу СР, яка пояснює основи індивідуального електронного коригування параметрів паливоподачі та забезпечує за рахунок цього збільшення періодичності ремонтно-технічних впливів.

3. Розроблено математичну модель процесу роботи електрогідравлічної форсунки, яка встановлює залежність тривалості керуючого імпульсу від конструктивно-регулювальних параметрів ЕГФ. Перевірка адекватності моделі за критерієм Фішера показала позитивну збіжність на рівні значущості 95%. З використанням математичної моделі для відремонтованої за запропонованою технологією ремонту ЕГФ фірми Bosch визначено допускові відхилення тривалості керуючого імпульсу за різних режимів роботи.

4. Удосконалена технологія ремонту електрогідравлічних форсунок акумуляторних паливних систем, що забезпечує 100% відновлений реурс при зниженні собівартості ремонту в 1,5 рази.

5. Розроблено методику регулювання відремонтованої ЕГФ зміною БХУТ, що забезпечує розширення допусків до контрольних та складальних параметрів форсунки. Зокрема для ЕГФ фірми Bosch теоретично визначено та експериментально підтверджено допуски по цикловій подачі на режимі VL по цикловій подані становить $Agm1IUI = \pm 4 \text{ мм}^3/\text{цикл}$, $AtDir = \pm 180 \text{ мкс}$; на режимі ЕМ Дяш.кл = $\pm 2,2 \text{ мм}^3/\text{цикл}$, $Atnpr = \pm 100 \text{ мкс}$; на режимі LL $AgmKll = \pm 1,65 \text{ мм}^3/\text{цикл}$, $AtBnp = \pm 75 \text{ мкс}$; на режимі VE $AgmlluI = \pm 0,7 \text{ мм}^3/\text{цикл}$, $Dtapr = \pm 32 \text{ мкс}$.

НУБІЙ України

СПИСОК ВИКОРИСТАНОЇ ЛІТЕРАТУРЫ

1. Автомобильный справочник Bosch, перевод с англ. Первое русское издание. -М.: ЗАО КЖИ «За рулем», 2002. - 896с.

2. Аллилуев В.А., Анастин А.Д., Михлин В.М. Техническая эксплуатация машино-тракторного парка. - М: Агропромиздат, 1991. - 367 с.

3. Астахов И.В., Голубков Л.И., Трусов В.И. и др. Топливные системы и экономичность дизелей - М.: Машиностроение, 1990. - 288с.

4. Баширов Р.М., Галиуллин Р.Р. Регулирование топливоподачи в тракторных дизелях/-Уфа: БГАУ, 2008. -184 с.

5. Баширов Р.М., Кислов В.Г., Павлов В.А., Попов В.Л.. Надежность топливной аппаратуры тракторных и комбайновых дизелей/- М.: Машиностроение, 1987. -184с.

6. Белявцев А.В., Процеров А.С. Топливная аппаратура автотракторных дизелей/ М.: Росагропромиздат, 1988. - 223с.

7. Блинов А.Д., Голубев, Драган Ю.Е. и др. Под ред. Папонова В.С. и Минеева А.М. - М.: НИЦ «Инженер», 2000. - 332 с.

8. Валиев А.Р. Повышение эффективности ремонта электрогидравлических форсунок аккумуляторных топливных систем автотракторных дизелей. -Дисс. канд. техн. наук. - Уфа, 2012. - 163 с.

9. Вахитов Р.А. Диагностический стенд для испытания аккумуляторных топливоподающих систем. Инновационный промышленный салон. Материалы 3 Всероссийской научно-практической конференции «Ремонт. Восстановление. Реновация», г. Уфа 2012, стр.178-181

10. Вахитов Р.А. Оценка экономической эффективности технологии ремонта электрогидравлической форсунки типа Common Rail фирмы Bosch / Валиев А.Р., Давлетов А. Ф. // Вестник Башкирского государственного аграрного университета. -2011. -№ 3. -С. 45-48.

11. Вахитов Р.А. Послеремонтное определение параметров коррекции форсунки электронной системы Common Rail автотракторных дизелей //Всероссийская

НУБІП України

научно - практическая конференция «Фундаментальные основы научно-технической и технологической модернизации АПК»/ г. Уфа, 2013г. - стр.77-80.

12. Веденяпин Г.В. Общая методика экспериментального исследования и обработка экспериментальных данных/М.: Колос, 1973.- 199 с.
13. Вихерт М.М., Мазинг М.В. Топливная аппаратура автомобильных двигателей: конструкции и параметры/М.: Машиностроение, 1976.- 176 с.
14. Власов П.А. Особенности эксплуатации дизельной топливной аппаратуры/ М.: Агропромиздат, 1987. - 127с.
15. Габбасов А.Г. Улучшение показателей тракторного дизеля совершенствованием топливоподачи и смесеобразования. - Дисс. канд. техн. наук. Уфа, 2005. - 132 с.
16. Габитов И.И. Оценка неравномерности подачи топливных систем тракторных дизелей. - Дисс. канд. техн. наук. - Уфа, 1993.- 175 с.
17. Габитов И.И. Улучшение эксплуатационных показателей топливной аппаратуры сельскохозяйственных дизелей путем научного обоснования и реализации в ремонтном производстве технологических процессов, методов и средств диагностирования. - Дисс. док. техн. наук. - СПб.: СПбГАУ, 2001.-322 с.
18. Габитов И.И., Грехов Л.В., Неговора А.В. Техническое обслуживание и диагностика топливной аппаратуры автотракторных дизелей: М.: Легион-Автодата, 2008 -248 с.
19. Габитов И.И., Неговора А.В. Топливная аппаратура автотракторных двигателей/ Учебное пособие для студентов ВУЗов по спец-тям 311300 и 311900. Уфа: Изд-во БГАУ, 2004.- 172 с.
20. Габитов И.И., Неговора А.В. Топливная аппаратура автотракторных дизелей. -Уфа: БГАУ, 2004,-216с.
21. Габитов И.И. Анализ неисправностей электрогидравлических форсунок типа Common Rail/ Вахитов Р.А., Валиев А.Р. // Тракторы и сельхозмашины - 2011.-Вып.№11 - стр. 41-43.

НУБІЙ України

22. Габитов И.И. Оценка ремонтопригодности клапанных узлов

электрогидравлических форсунок автотракторных и комбайновых дизелей /

Вахитов Р.А., Валиев А.Р./ Международной научно-практической конференции

«Улучшение эксплуатационных показателей автомобилей, тракторов и

двигателей», г. Санкт - Петербург, 2013. - вып. №16 - стр.61-65.

23. Габитов И.И. The analysis of common rail injectors failures of autotractor

diesel engines/ Вахитов Р.А., Валиев А.Р./ Молодежь и наука: материалы Между-

нар. науч. конф. студентов и молодых ученых (на иностранных языках) 21-23

марта 2012 г. - Уфа: БГАУ, 2012. - С. 62-66.

24. Гафуров М.Д. Улучшение характеристик впрыскивания

топливоидающей системы тракторного дизеля путем разработки и применения

электрогидро-управляемой форсунки. - Дисс. канд. техн. наук. - Уфа, 2001. - 138

с.

25. Голубков Л.Н., Севастенко А.А., Эмиль М.В. Топливные насосы

высокого давления распределительного типа. - М.: Легион-Автодата, 2000. - 176с.

26. ГОСТ 9450-76. Измерение микротвердости вдавливанием алмазных

наконечников. - М.: Издательство стандартов, 1976.

27. ГОСТ 18509-88. Дизели тракторные и комбайновые. Методы

стендовых испытаний/М.: Изд-во стандартов, 1988. - 70 с.

28. ГОСТ 8670-82 Насосы топливные высокого давления автотракторных

дизелей/ М.: Изд-во стандартов, 1982. - 5 с.

29. Грехов Л.В. Аккумуляторные топливные системы двигателей

внутреннего сгорания типа Common Rail. -М: Изд-во МГТУ им. Н.Э. Баумана,

2000. -64 с.

30. Грехов Л.В., Риващенко Н.А., Марков В.А. Топливная аппаратура и

системы управления дизелей: Учебник для вузов/ 2-е изд. - М: Легион-Автодата,

2005. - 344 с. ил.

31. Грехов Л.В., Габитов И.И., Неговора А.В. Конструкция, расчет и

технический сервис топливоводящих систем дизелей: Учебное пособие.-М:

Легион-Автодата, 2013.-340с.

НУБІЙ України

32. Двигатели внутреннего сгорания: Системы поршневых и

комбинированных двигателей. Учебник для вузов по специальности «Двигатели внутреннего сгорания»/С. И. Ефимов, Н.А. Иващенко, В.И. Ивин и др.; Под общ.

ред. А.С. Орлина, М.Г. Круглова.- 3-е изд., перераб. и доп.- М.: Машиностроение, 1985.- 456 с.

33. Двигатели внутреннего сгорания: Теория поршневых и

комбинированных двигателей. Учебник для вузов по специальности «Двигатели внутреннего сгорания»/Д. Н. Вырубов, Н. А. Иващенко, В. И. Ивин и др.; Под ред.

А. С. Орлина, М. Г. Круглова.- 4-е изд., перераб. и доп. - М.: Машиностроение, 1983.- 372 с.

34. Диагностика и техническое обслуживание машин: учебник для

студентов высш. учеб. заведений / [А.Д. Ананьин, В.М. Михлин, И.И. Габитов и др.]. -М.:Издательский центр «Академия», 2008. -432 с.

35. Диагностирование электрогидроуправляемых форсунок

топливоподаю-щей системы Common Rail / А. Г. Габбасов, А. А. Козеев, А. Р. Валиев, А. Р.

Ямилев // Научное обеспечение устойчивого функционирования и развития

АПК: материалы всерос. науч.-практ. конф. - 2009. - С. 31-32.

36. Дизельная топливная аппаратура / П. М. Кривенко, И. М. Федоров. -

М.: Коглос, 1970.- 536 с.: ил.

37. Дизельные топливные системы с электронным управлением: учеб.-

практ. пособие / Н. А. Иващенко, В. А. Вагнер, Л. В. Грехов. - Барнаул: Изд-во АлтГТУ,2000.-112с.: ил.

38. Дизельные аккумуляторные топливные системы Common Rail: учеб.

пособие : пер. с англ. - М.: Легион-Автодата, 2005.- 47 с.

39. Кущицкий А.Р. Токсичность автомобильных и тракторных

двигателей. -Владимир: Изд-во Владимирского государственного университета, 2000. -256с.

40. Ефимов С.И., Иващенко Н.А., Ивин В.И.и др. Под ред. Орлина А.С,

Круглова М.Г. Двигатели внутреннего сгорания. Системы поршневых и

НУБІЙ України

комбінованих двигунів. - 3-е изд., перераб. И доп. -М. Машиностроение, 1985. -456 с.

41. Ждановский Н.С., Николаенко А.В., Шкрабак В.С., Соминич А.В. и

др. Режимы работы двигателей энергонасыщенных тракторов.. Л.: Машиностроение, 1981. - 240 с.

42. Иващенко Н.А, Вагнер В.А., Грехов Л.В. Дизельные топливные системы с электронным управлением. Учебно-практическое пособие. - Барнаул: Изд-во АлтГТУ им. И.И.Ползунова, 2000. - 111 с, ил

43. Ильин В.А. Повышение эффективности технического сервиса топливной аппаратуры автотракторных и комбайновых дизелей. - Дисс. канд. техн. наук.-Уфа, 2006.-141с.

44. Ильин В.А. Определение допусковых значений структурных параметров для диагностирования электрогидроуправляемых форсунок COMMON RAIL / В. А. Ильин, А. А. Козеев // Научное обеспечение инновационного развития АПК : материалы Всерос. науч.-практ. конф. в рамках XX Юбилейной специализированной выставки "Агрокомплекс-2010" (2-4 марта 2010 г.). - Уфа : Башкирский ГАУ, 2010. - Ч. 3. - С. 74-77

45. Инструкция по эксплуатации. КМА 802/822. Описание устройства.

Robert Bosch GmbH. Automotive Aftermarket Test Equipment. 1 689 979 674 UBF 851/3 De,En,Fr,Sp,It (22.05.2002). Printed in Germany.

46. Кислов В.Г., Баширов Р.М., Попов В.Я. Топливные насосы распределительного типа/М.: Машиностроение, 1975. - 176 с.

47. Кислов В.Г., Кошман Э.И., Попов В.Я., Исаев А.И., Бахтияров Н.И. и др. Конструирование и производство топливной аппаратуры тракторных дизелей/ М.: Машиностроение, 1972. - 302с.

48. Кобзев А.К., Марков В.Р., Койчев В.С., Газизов И.И. Система питания авто-тракторных дизельных двигателей, используемых в АПК (устройство, работа и регулировки): учебное пособие. Ставропольский государственный аграрный университет. -М.: Колос; Ставрополь : АГРУС, 2008. -220 с.: ил.

НУБІЙ України

49. Конструирование, исследование и эксплуатация топливоподающих

систем автотракторных дизелей [Текст] / М-во сел. хоз-ва СССР, Ульяновский с.-

х.ин-т ; [редкол.: Баширов Р. М. (отв. ред.), Лышевский А. С, Трусов В. И.,

Хачиян А. С, Антипов В. В., Исаев А. И, Юлдашев А. К]. - Ульяновск

[УСХИ], 1976.-176 с.

50. Козеев А.А. Разработка средств диагностирования инжекторов

аккумуляторных топливоподающих систем дизельных двигателей. Дисс. канд.

техн. наук. - Уфа, 2010. - 136 с.

51. Костин А.К., Пугачев Б.Н., Коцнев Ю.Ю. Работа дизелей в условиях

эксплуатации/ Л.: Машиностроение, 1981. - 284 с.

52. Коффон Дж., Лонг В. Расширение микропроцессорных систем/ М.:

Машиностроение, 1987.-318 с.

53. Ландау Л. Д., Лифшиц Е. М. Теоретическая физика: Учебное пособие.

Т. VI. Гидродинамика. - 3-е изд., перераб. - М.: Наука. Гл. ред. физ.-мат. лит., 1986.

-736 с.

54. Лышевский А.С. Системы питания дизелей - М.: Машиностроение,

1981. -216 с.

55. Марков В.А., Баширов Р.М., Габитов И.И. Токсичность отработавших

газов дизелей. - М.: Изд-во МГТУ им. Н.Э. Баумана, 2002. - 376с.

56. Марков В.А., Девягин С.Н., Семенов В.Г., Шахов А.В., Багров В.В.

Использование растительных масел и топлив на их основе в дизельных

двигателях. -М.: ООО НИЦ «Инженер», 000 «ОникоМ», 2011. - 536с.

57. Металлы. Методы механических и технических испытаний. -М.: Изд.

Комитета стандартов, 1970.- 304 с.

58. Монченников Н.А., Френкель А.И. Обобщенные зависимости влияния

регулировок дизеля на его токсичность и экономические показатели//

Автомобилестроение. 1974,- №11.-с.17-20.

59. Неговора А.В. Топливная аппаратура автотракторных дизелей.-

Учебно-практическое пособие. - Уфа: Башдизель.- 2004.- 150 с.

НУБІЙ

60. Неговора А.В.

Україні

Технологические приемы обеспечения

эксплуатационной надежности автотракторных дизелей / Монография. С-Пб.: Изд-во СПБГАУ, 2003.- 212 с.

НУБІЙ

61. Неговора А.В.
аккумуляторной си-стемы
безопасности автотракторной

Электрогидроуправляемая форсунка для топливоподачи / Повышение экологической безопасности автотракторной техники. Сб. статей под ред. А.Л. Новоселова
Российская академия транспорта, Барнаул: АлтГУ, 2002 - с.94-97.

НУБІЙ

62. Неговора А.В., Габитов И.И. Численное исследование и оптимизация пара-метров топливного насоса высокого давления для аккумуляторной топливоподающей системы типа Common Rail. С.-ПБГАУ, Минсельхозпрод РФ.-С-Пб., 2004.- с.34, рис.20, библ. 13. Рукопись деп. в НИИТЭИАгропром, ано-тирована в 1.1 вып.электр.изд-я БД «Агрос» № 0329600034 в НТЦ «Ин-формрегистр» за 2004

НУБІЙ

63. Неговора А.В., Габитов И.И., Грехов Л.В. Аккумуляторная топливная система с электрогидроуправляемой форсункой / Тракторы и СХМ. 2001 - №7. - с.14-16.

НУБІЙ

64. Николаенко А.В. Улучшение топливно-энергетических и экологических показателей автотракторных двигателей. Л.; ЛСХИ, 1990.-46с.

НУБІЙ

65. О чистоте при обращении с системами дизельных двигателей. Сервисная телеграмма. Robert Bosch GmbH, Отдел автооборудования: Автомобиль: легковые/грузовые автомобили. 12.2002 ST 0779 Ru.

НУБІЙ

66. Патент №2433299 Российская Федерация Устройство для исследования подачи топлива топливоподающей аппаратурой в дизелях / Габитов И.И., Неговора А.В., Габбасов А. Г., Валиев А. Р., Давлетов А. Ф.; заявитель и патентообладатель ФГОУ ВПО Башкирский ГАУ. - № 2010111293; приоритет изобретения 24.03.2010; зарегистрировано 10.11.2011.

НУБІЙ

67. Патент 2159864 F 02M 65/00 Форсунка с электрогидравлическим управлением для аккумуляторных систем топливоподачи / Баширов Р.М., Габитов И.И., Динисламов М.Г., Гаянов М.Р., Гафуров М.Д., Неговора А.В.

НУБІЙ України

68. Подача и распыливание топлива в дизелях / под общ. ред. И. В.

Астахова. -М. : Машиностроение, 1972. -359 с.

69. Повышение надежности работы прецизионных пар топливной

аппаратуры дизелей / Н. И. Бахтияров, В. Е. Логинов, И. И. Лихачев. М. :

Машиностроение, 1972 г. - 200 с.: ил.

70. Попов В.С., Николаев С.А. Электротехника. - М. Энергия, 1966. - с 90-

95.

71. Презентация фирмы Bosch Automotive Aftermarket Концепция ремонта

и н

жекторов Confidential I AA/MKD 5/15/2009 © Robert Bosch GmbH 2009.

72. Регулирование топливоподачи в тракторных дизелях: учеб. пособие

для вузов / Р. М. Баширов, Р. Р. Галиуллин ; Башкирский ГАУ. - Уфа : БГАУ,

2008. -184 с.

73. Режимы работы двигателей энергонасыщенных тракторов/ [Н. С.

Ждановский и др]. - Л.: Машиностроение, Ленингр. отд-ние, 1981. - . - 240 с. :

ил.

74. Ремонт дизелей сельхозназначения / П. М. Кривенко, И. М. Федосов,

В. Н. Аверьянов. - М.: Агропромиздат, 1990. - 271 с. : ил.

75. Ремонт и регулирование топливной аппаратуры автотракторных и

комбайновых двигателей / Б. П. Загородских, В. В. Хатько. - М.: Россельхозиздат,

1986. -139 с.

76. Ремонт и регулирование топливной аппаратуры двигателей тракторов

и комбайнов / В. В. Антипов, Б. А. Гоголев, Б. П. Загородских. - Изд. 2-е,

перераб. и доп. - М: Россельхозиздат, 1978. -127 с.

77. Ремонт и техническое обслуживание системы питания

автотракторных двигателей: учебное пособие для сельских проф.-техн. училищ и

подготовки рабочих на производстве / П. М. Кривенко, И. М. Федосов. - М.:

Колос, 1980. -288 с. : ил.

78. Ремонт дизелей сельхозназначения / П. М. Кривенко, И. М. Федосов,

В. Н. Аверьянов. - М.: Агропромиздат, 1990. 271 с. : ил.

НУБІЙ України

79. Руководство по испытанию и регулировке топливной аппаратуры тракторных, комбайновых и автомобильных дизелей. - М.: ГОСНИТИ, 1990. - с.186

80. Системы впрыскивания топлива фирмы Бош для экологически совместимых дизельных двигателей, Роберт Бош Гмбх, Штутгарт, Производственный отдел К5. - 1994. - 46 с.

81. Современные подходы к созданию дизелей для легковых автомобилей и малотоннажных грузовиков / А.Д. Блинов, П.А. Голубев, Ю.Е. Драган и др. Под ред. В.С. Напонова и А.М. Минсева. - М.: НИЦ «Инженер», 2000. - 332 с.

82. Технология контроля и восстановления экологических показателей дизелей в условиях эксплуатации. М.: ГОСНИТИ, 1994. - 88 с.

83. Топливная аппаратура автотракторных дизелей: справочник / Б. Н. Файн-лейб. - Л.: Машиностроение, Ленингр. отд-ние, 1974. - 264 с.

84. Топливная аппаратура автомобильных и тракторных дизелей: практическое руководство / В. Марков, В. Тимченко, И. Рындян. - Батайск : ПОНЧИК, 2001. - 76 с.

85. Топливная аппаратура легковых автомобилей. Дизель. Устройство и обслуживание. - Мн.: «Автостиль», 2003. - 112 с.

86. Топливная аппаратура тракторных и комбайновых двигателей. Н. И. Бахтияров, А. В. Белянцев, А. Н. Карамашев. - М.: Колесо, 1980. - 159 с.: ил.

87. Топливные системы дизелей с насос-форсунками и индивидуальными ТНВД. Перевод с английского. Учебное пособие - М.: ЗАО «Легион-Автодата», 2009.-48с.

88. Файнлейб Б.Н. Топливная аппаратура автотракторных дизелей. Л.: Машино строение, 1990. - с.352.

89. Электронное управление дизельными двигателями. Перевод с английского. Учебное пособие- М.: ЗАО «Легион-Автодата», 2006.-96 с.

90. Ягодин Р. В. Расширение функциональных возможностей стендов для ис-

пытания топливной аппаратуры дизелей / Р. В. Ягодин, А. Р. Валиев, А. А.

НУБІЙ Україні

Козеев // Труды ГОСНИТИ / Всерос. науч.-исслед. техн. ин-т ремонта и
ЭКС-

плуатации маш.-тракт. парка. -М., 2008. -Т. 102. - С. 56-58.

91. Bosch Automotive Handbook /Robert Bosch GmbH./Robert Bosch, 2004. -

320 р.

92.

Bosch Dianostics Soft. ESL [tronic] Automotive. Diagnosis and Technics:

A, C,

D, E, F, K, M, P, W. - Robert Bosch GmbH. Bosch Automotive Aftermarket. D-

76225 Karlsruhe, 2005/1.

93. Denso. Electronical Technical Service Information, 2002

94.

Diesel Accumulator Fuel-Injection System Common Rail: Bosch Technical

Instruction Robert Bosch, Bentley PublishersBentley Pub, 1999 - 49p.

95. Diesel Common Rail and Advanced Fuel Injection Systems. Philip J. G.

Dingle, Ming-Chia Lai. Society of Automotive Engineers, Incorporated, 2005. - 137 p.

96. Diesel Emissions and Their Control. W. Addy Majewski, Magdi K. Khair.

SAE International. 2006. -561 p.

97. Diesel Engine Management: An Overview: Bosch Technical Instruction

/Robert Bosch/ BENTLEY ROBERT Incorporated, 2003. -132p.

98. Diesel-Engine Management/Robert Bosch GmbH./ Robert Bosch GmbH,

2005. -490p.

99. Diesel fuel injection. /Ulrich Adler/ Robert Bosch GmbH, 1994. - 199 p

100. Diesel Fuel-Injection Systems Unit Injector System/Unit Pump System:

Bosch Technical Instruction/ Robert Bosch. Bentley Pub, 2000. - 73p.

101. Electronic Diesel Control (EDC), Bosch Technical Instruction /Robert

Bosch/ Bentley Pub, 2003. -95p.

102. Fuel injection pump model Covec-F. Pub. № EE14E-11190. Service

Manual: Ad-justment and Inspection. Printing: July 2003. Published by: Bosch K.K.:

Sales Au-tomotive Aftermarket Division. Printed in Japan.

103. Fuel injection pump model Covec-T (for Nissan Diesel). Pub. № EE14E-

11200. Service Manual: Repair Service and Maintenance. Printing: March 2003.

НУБІН України

Published by: Bosch Automotive Systems Corporation: Service Department. Printed in Japan.

104. Fuel injection pump model Covec-T (for Nissan Diesel). Pub. № EE14E-

11210. Service Manual: Construction and Operation. Printing: June 2003. Published by: Bosch Automotive Systems Corporation: Service Department. Printed in Japan.

105. Fuel injection pump model VRZ. Pub. № EE14E-11161. Service Manual: Repair Service and Maintenance. Printing: July 2003. Published by: Bosch K.K.: Sales Automotive Aftermarket Division. Printed in Japan.

106. Internal combustion engine fundamentals. /John B. Heywood. McGraw-Hill, 1988.-930 p.

107. Kamimoto T., Yokota H., Kobayashi H. Effect of High Pressure Injection Soot Formation in a Rapid Compression Machine to Stimulate Diesel Flames / SAE Technical Paper Series. - 1987. - №871610. -P. 9.

108. Kourosh Karimi, Characterization of Multiple-Injection Diesel Sprays at Elevated Pressures and Temperatures, School of Engineering, University of Brighton, 2007.

109. Mollenhauer K., Tschoeke H. (eds.), Handbook of Diesel Engines, Springer-Verlag Berlin Heidelberg, 2010

110. Needham J.R., Doyle D.M., Nicol A.J. The Low NO_x in the Truck Engine // SAE Technical Paper Series. -1991. - №910731. - P. 1-10.

111. Operating Instructions. Injection pump test bench EPS 807/815. Robert Bosch GmbH. Automotive Aftermarket. Test Equipment. 1689 979 672 UBF 851/1 De,En,Fr,Sp,It (03.12.2003). Printed in Germany.

112. Operating Instructions. KMA 802/822. Description of unit. Robert Bosch GmbH. Automotive Aftermarket. Test Equipment 1689 979 674 UBF 851/3 De,En,Fr,Sp,It,Sv (2005-02-28). Printed in Germany.

113. Paul Dempsey, Troubleshooting and Repairing Diesel Engines, 4-th edition, 2008

НУБІП України

114. Service Information S.I. 442 1/6. PFR-KX and PFR-MD type injection pump: part number and production stamping. Printing: July 2003. Published by: Bosch Group.

НУБІП України

115. Technical Publication: Технические условия на эксплуатационные материалы. А001061/30R (для всех серий двигателей МТU и судовых двигателей DDC серии \$60).

116. Technical Service Training. Diesel Injection and Engine Management 23/E.

Diesel Injection Systems. Delegate Information 2. CG 7662/s en 9/96.

НУБІП України

117. Technical Service Training. New Product Introduction 00/284. Transit Diesel Injection Systems. Delegate Information 2. CG 7653/s en 9/96.

118. tps.yaroslavl.ru - Официальный сайт группы «ГАЗ» Дивизион «Двигатели» (ОАО «Ярославский завод дизельной аппаратуры») и ОАО «Ярославский завод топливной аппаратуры»)

НУБІП України

119. www.apz.ru - Официальный сайт Алтайского завода прецизионных изделий

120. www.mopaz.ru - Официальный сайт Малоярославецкого опытно-производственного акционерного завода

121. www.bosch.ru - Официальный сайт фирмы Bosch.

НУБІП України

122. www.denso.ru - Официальный сайт фирмы Denso.

123. www.delphi.com - Официальный сайт фирмы Delphi.

124. www.delphidirectevolution.com - Официальный каталог запасных частей фирмы Delphi.

НУБІП України

НУБІП України

НУБІП України

НУБІП України

НУБІП України

НУБІП України

додатки

НУБІП України

НУБІП України

НУБІП України